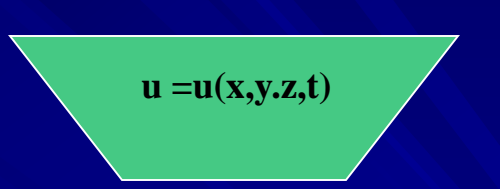
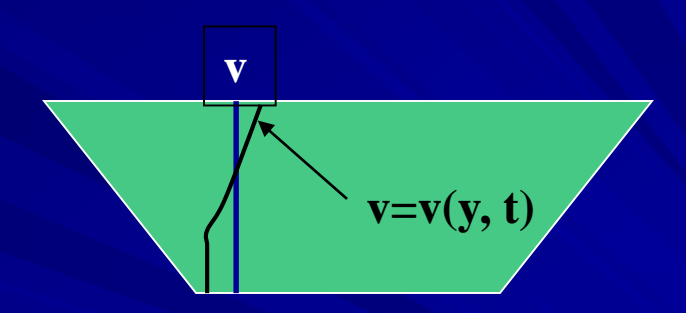
Движение воды в реках

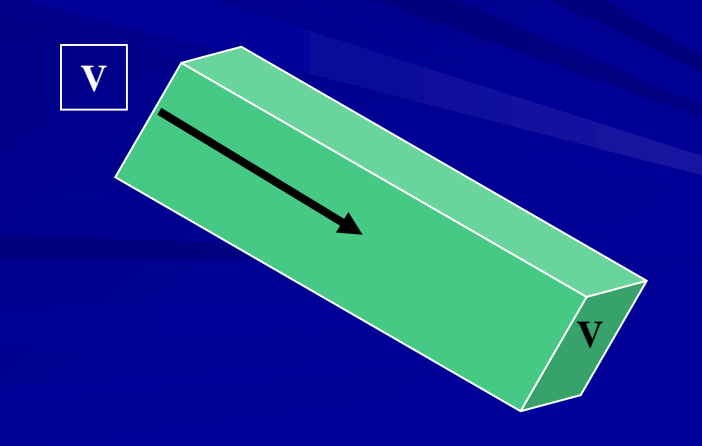
Распределение скоростей течения в речном потоке

Скорость движения воды

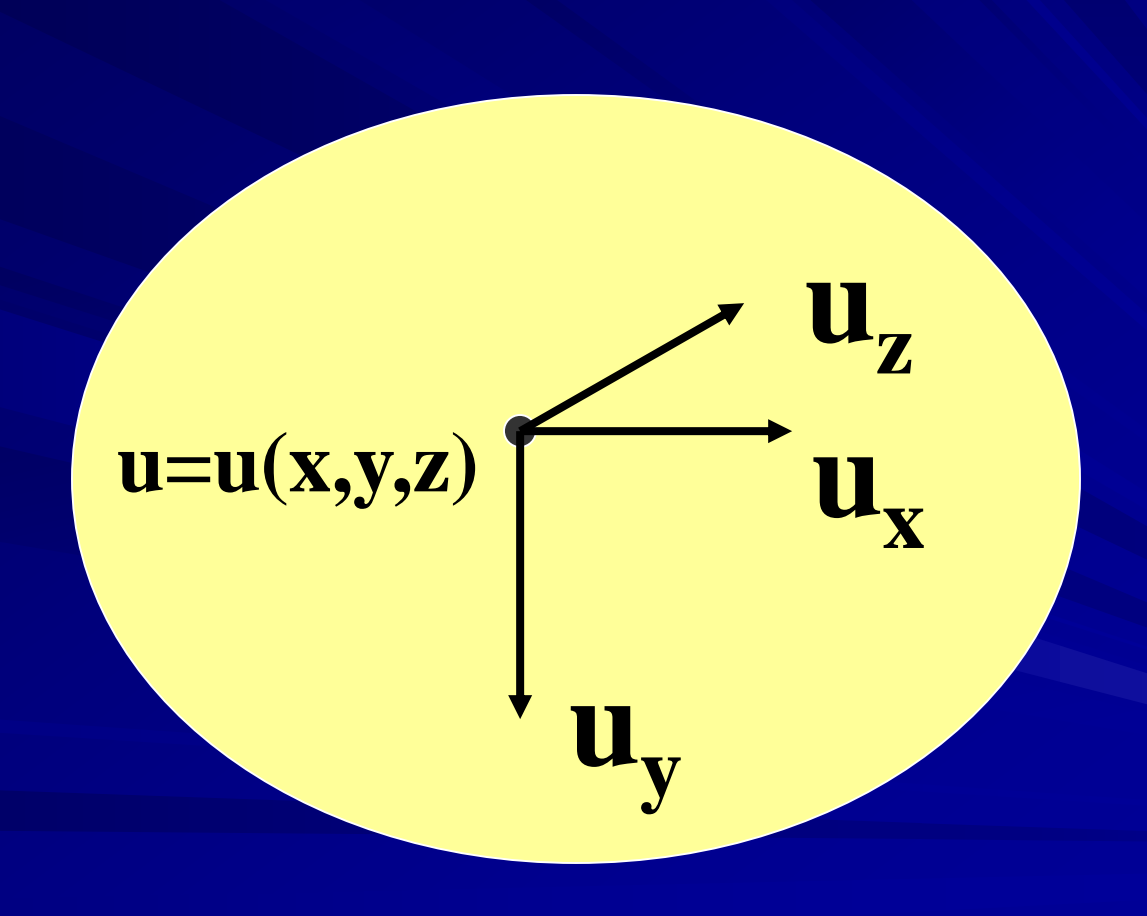
- в конкретной точке потока местная скорость *u*, м/с
- средняя скорость по глубине водного потока *v*, м/с
- средняя скорость в поперечном сечении реки *V,* м/с



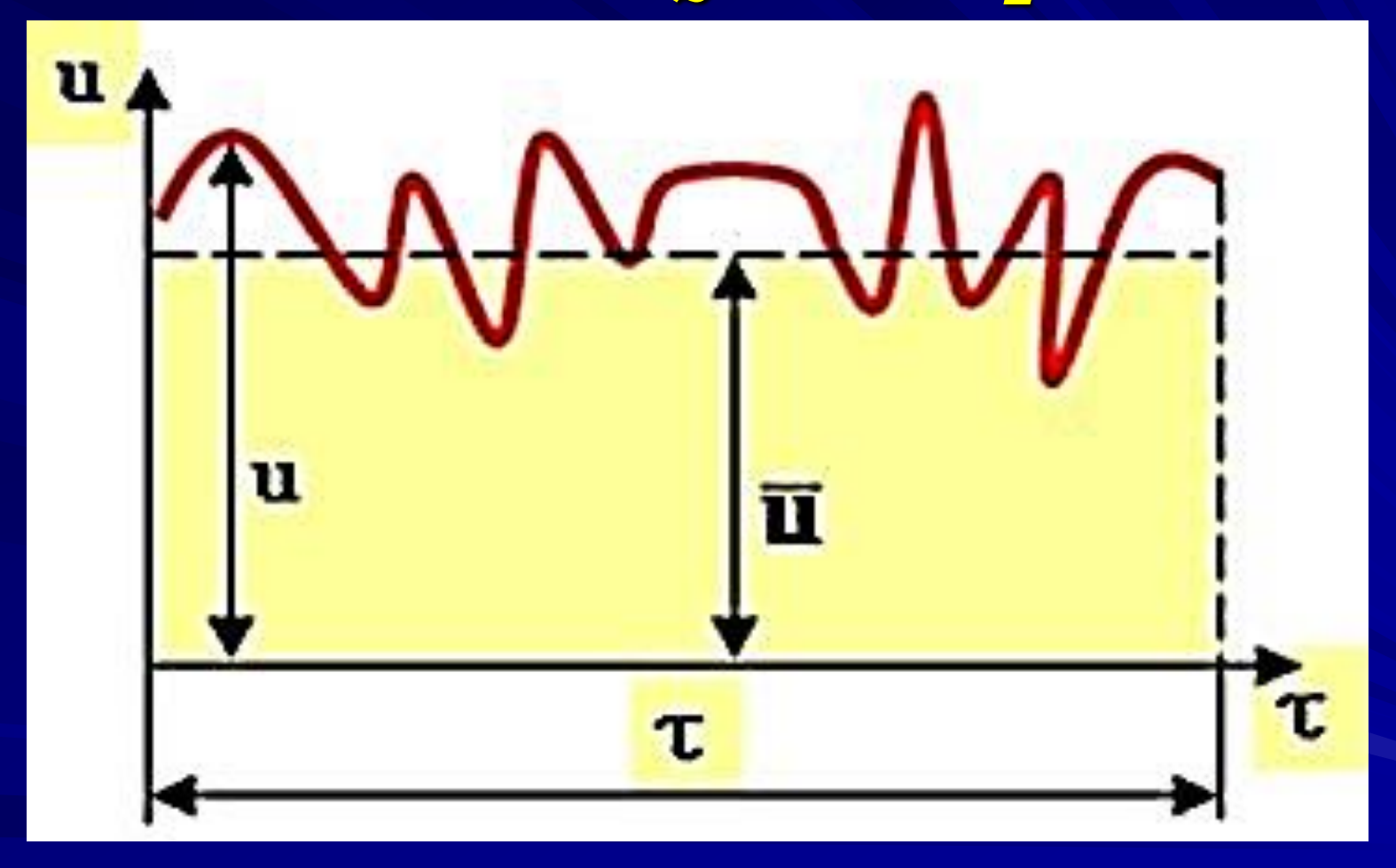




Компоненты местной мгновенной скорости



Изменение продольной составляющей скорости



Для рек характерен турбулентный режим движения воды, и скорость течения в любой точке речного потока подвержена турбулентным пульсациям

Методы и приборы измерения скоростей течения воды

Регистрация числа оборотов лопастного винта (ротора)

Регистрация скорости плывущего тела Регистрация скоростного напора

Принцип теплообмена

Измерение объема воды при наполнении

Ионный паводок

Регистрация распространения ультразвуковых колебаний

Регистрация силового воздействия потока

Доплеровский эффект

Методы и приборы измерения скоростей течения воды

Регистрация

ВЕРТУШКИ

лопастного винта (ротора)

Принцип **термогидрометры** теплообмена

Регистрация распространения **ОСЦИЛЛОГРАФ** Ультразвуковых колебаний

Регистрация ПОПЛАВКИ

плывущего тела

Измерение объ**ема волы п**ри **ТАХИМЕТРЫ** наполнении

Регистрация

СИЛОВОГО **ГИДРОДИНАМОМЕТРЫ** ВОЗДЕИСТВИЯ

потока

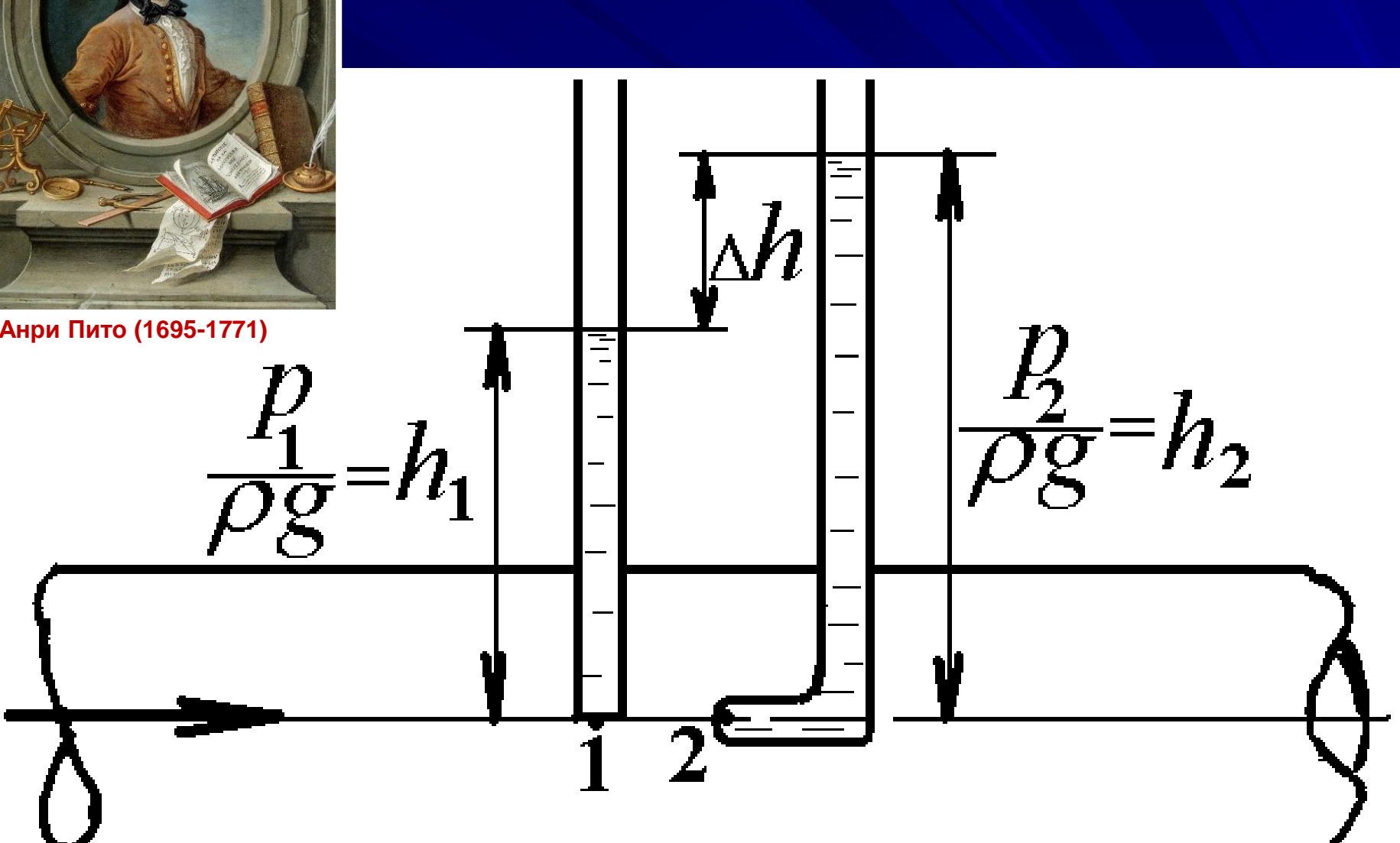
гидрометри-**ЧЕСКИЕ ТРУБКИ** напора

КОНДУКТОМЕТРЫ

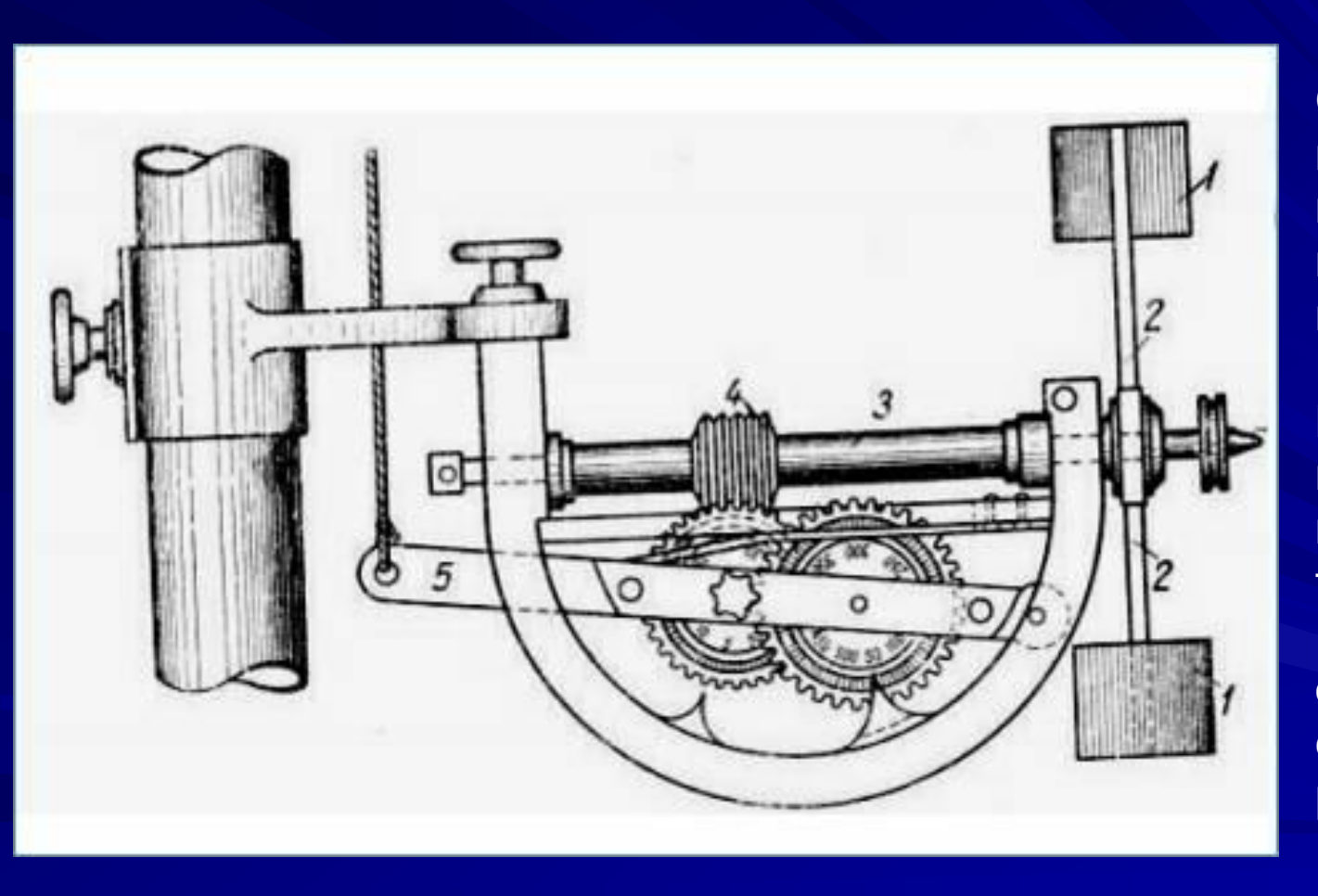
Доплеровский профилографы эффект



Трубка Пито-Прандтля

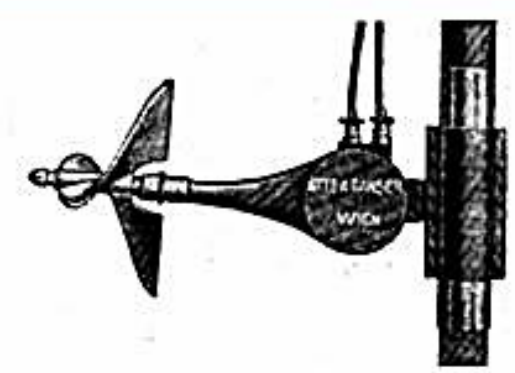


Первая гидрометрическая вертушка Вольтмана (1790)

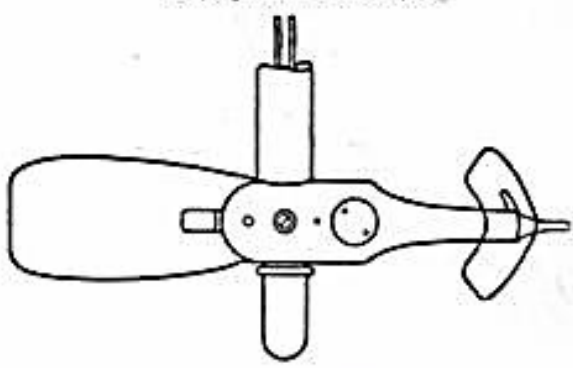


Создателем гидрометрической вертушки считают немецкого гидротехника Рейнгарда Вольтмана, впервые применившего такой прибор в **1790 г**. для определения скорости течения реки Эльбы.

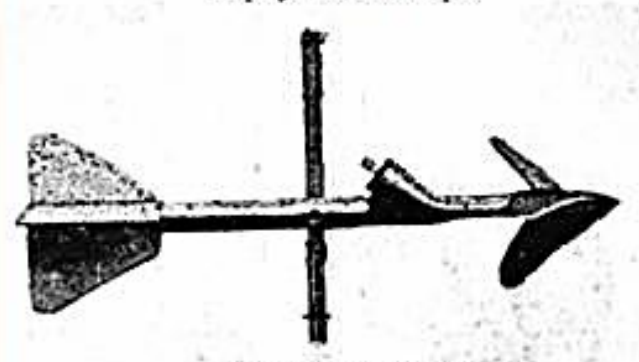
Вертушки конца ХІХ века



вертушка Ганзера



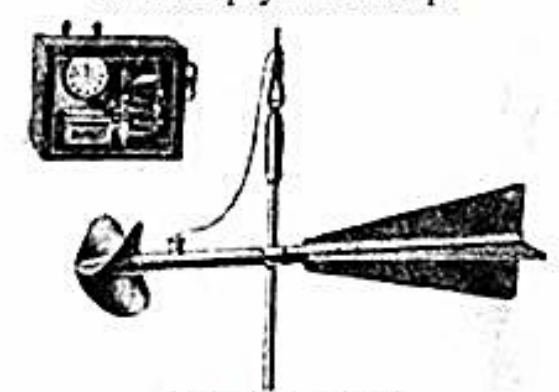
вертушка Ришара



вертушка Хоффа



малая вертушка Ганзера



вертушка Гаскеля



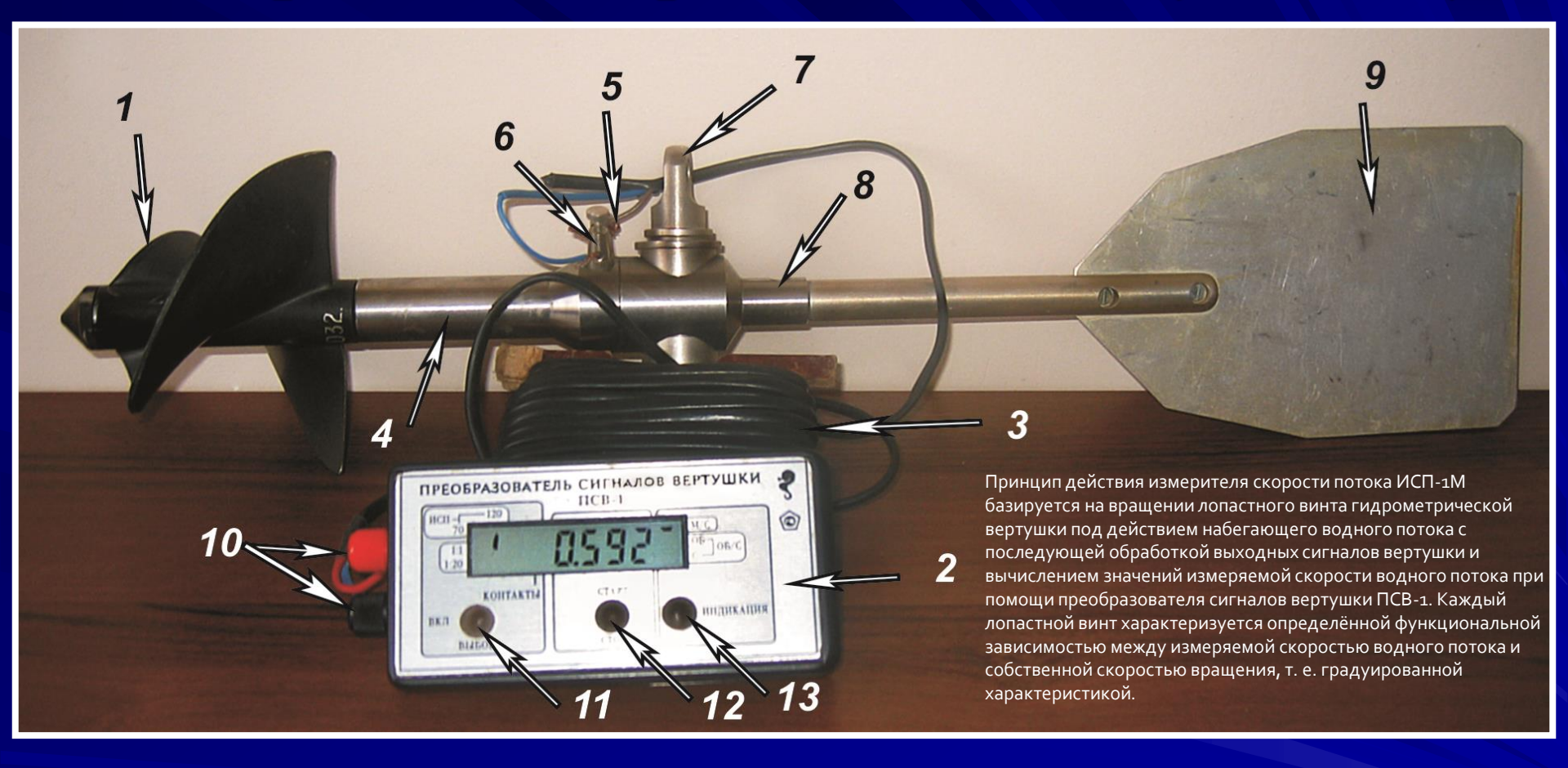
вертушка Амелера

Музей гидрологических приборов (Валдай)

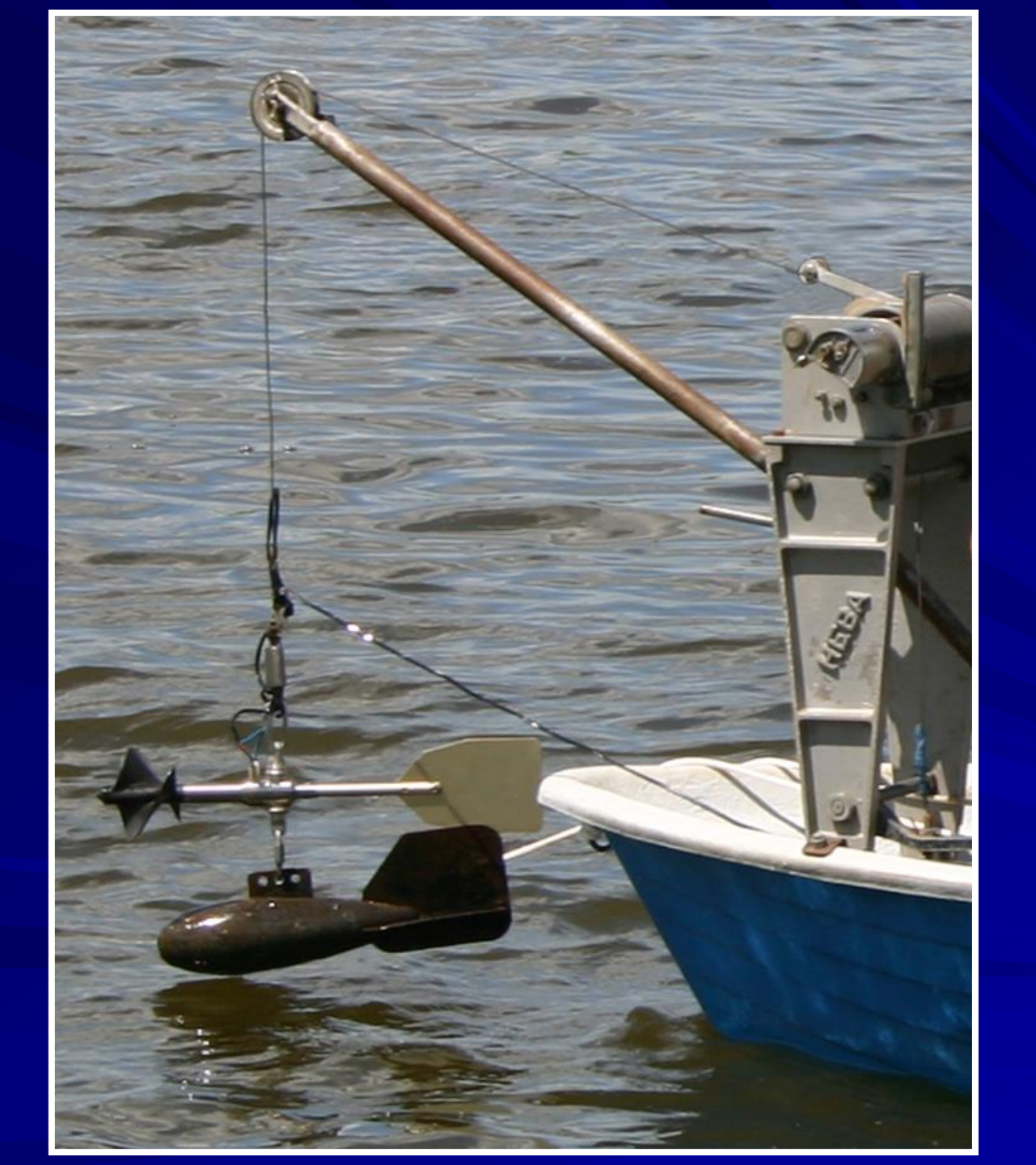




Измеритель скорости потока (ИСП-1М)



1 – лопастной винт; 2 – преобразователь сигналов вертушки; 3 – электрический провод; 4 – ось вертушки (находится внутри под ее корпусом); клеммы: 5 – изолированная, 6 – соединенная с корпусом; 7 – вертлюг, 8 – винт стабилизатора, 9 – стабилизатор; 10 – контакты преобразователя; кнопки преобразователя сигналов: 11 – ВЫБОР, 12 – СТАРТ/СТОП, 13 – ИНДИКАЦИЯ

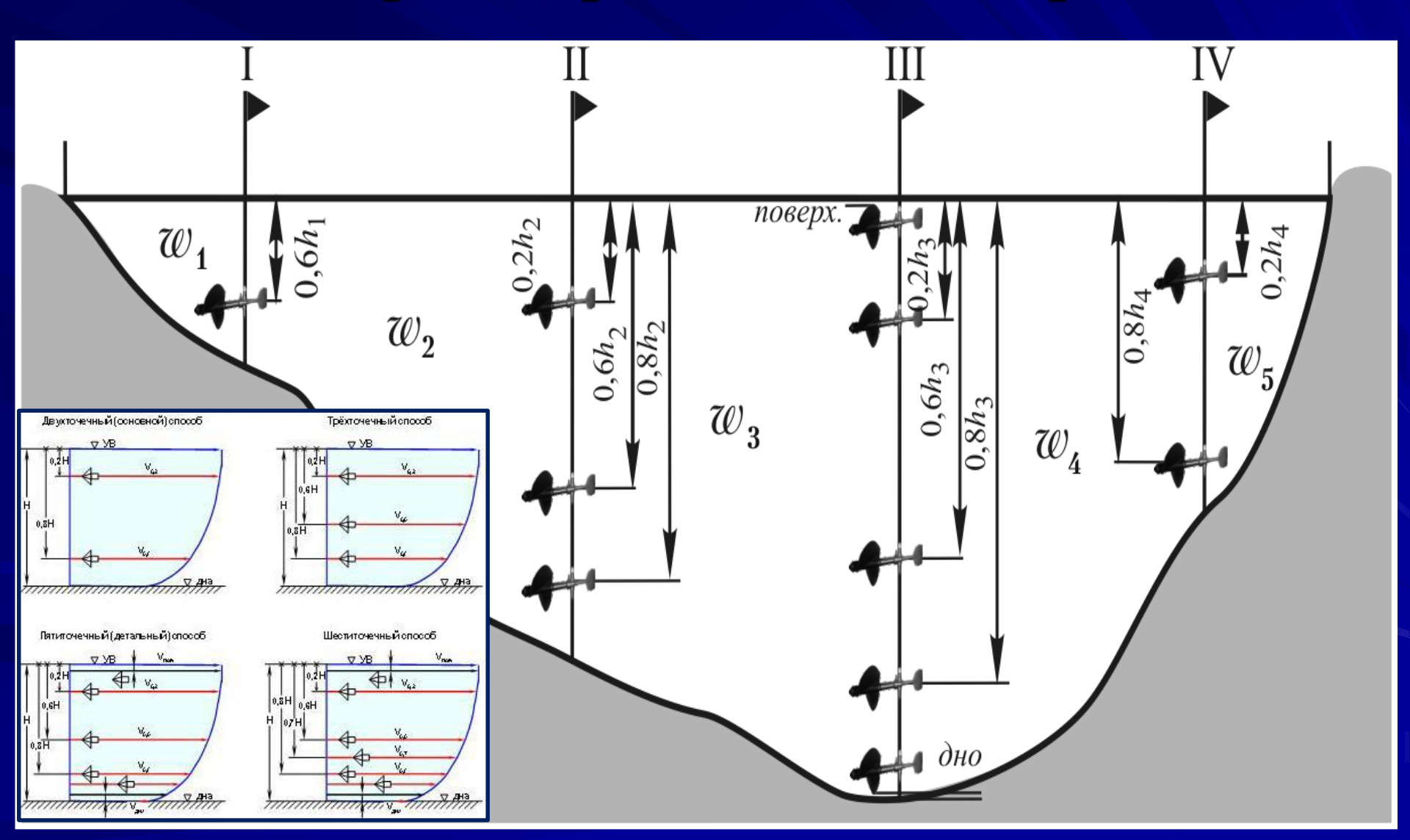


Крепление вертушки при работе с троса на лебедке

Измерение расхода гидрометрической вертушкой



Схема расположения точек на скоростных вертикалях гидрометрического створа



Экран регистрирующего устройства и величина местной скорости течения



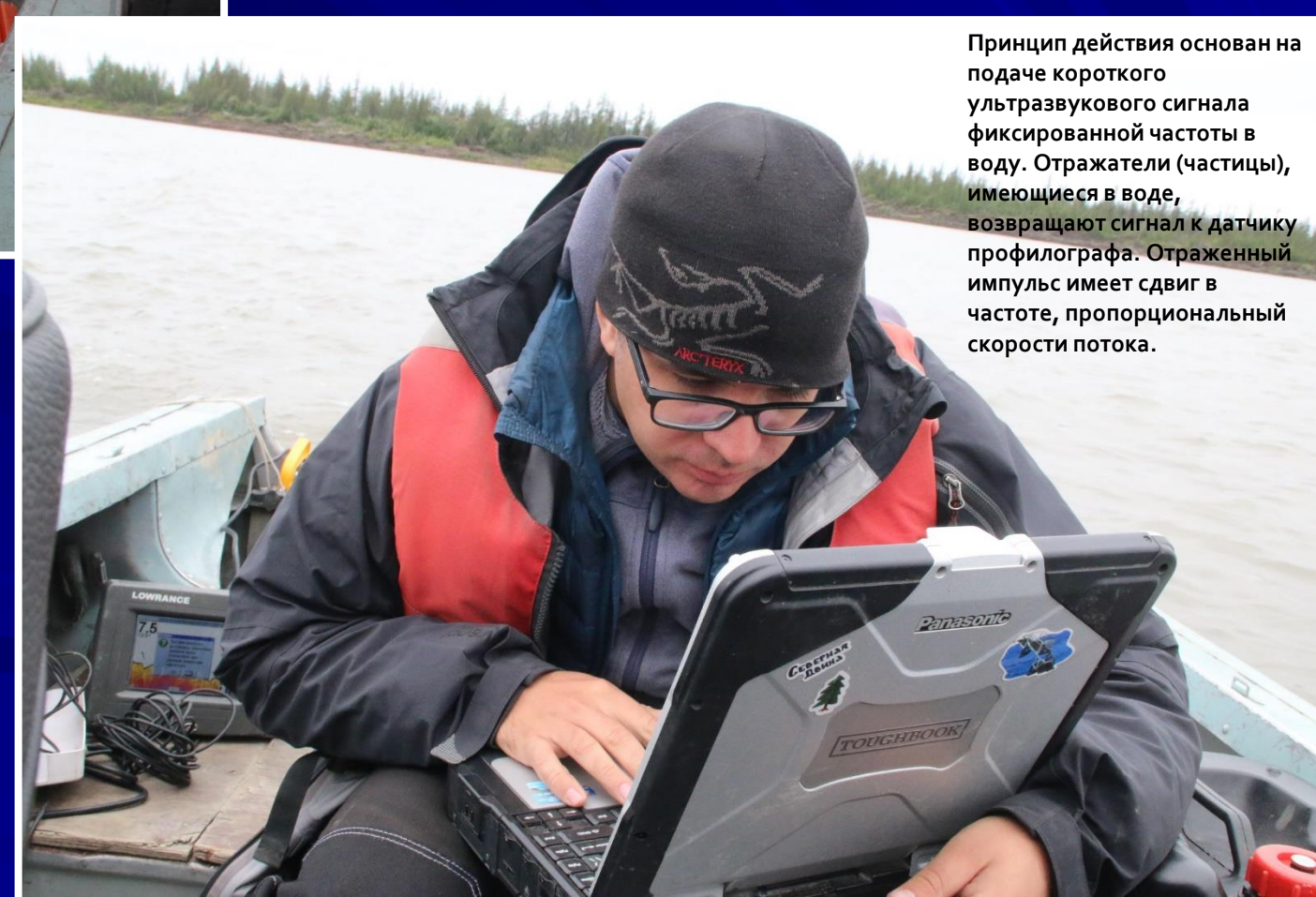
Устье Оби, 2004 г.



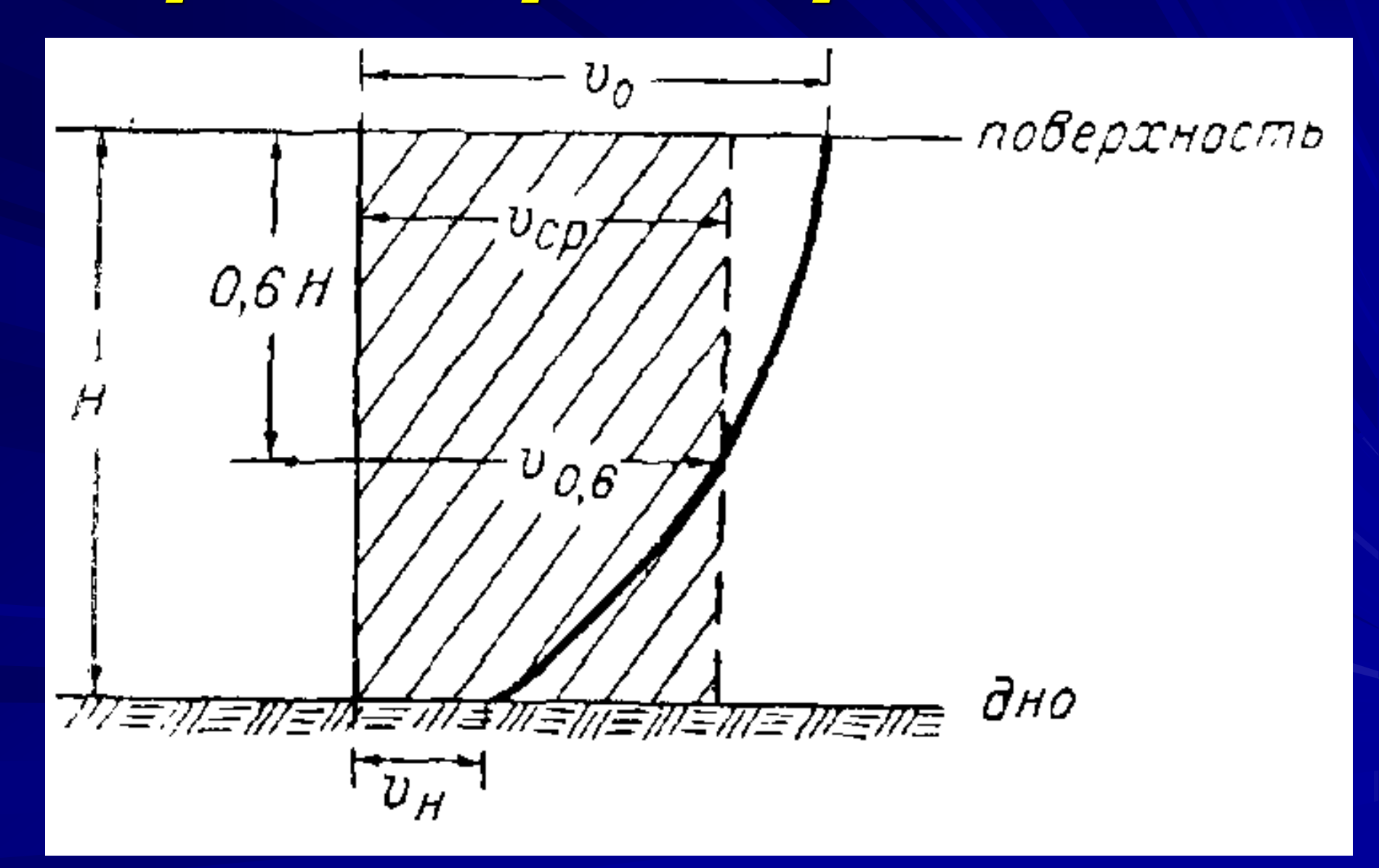
Акустические доплеровские профилографы

Измерение скоростей основано на эффекте Допплера.

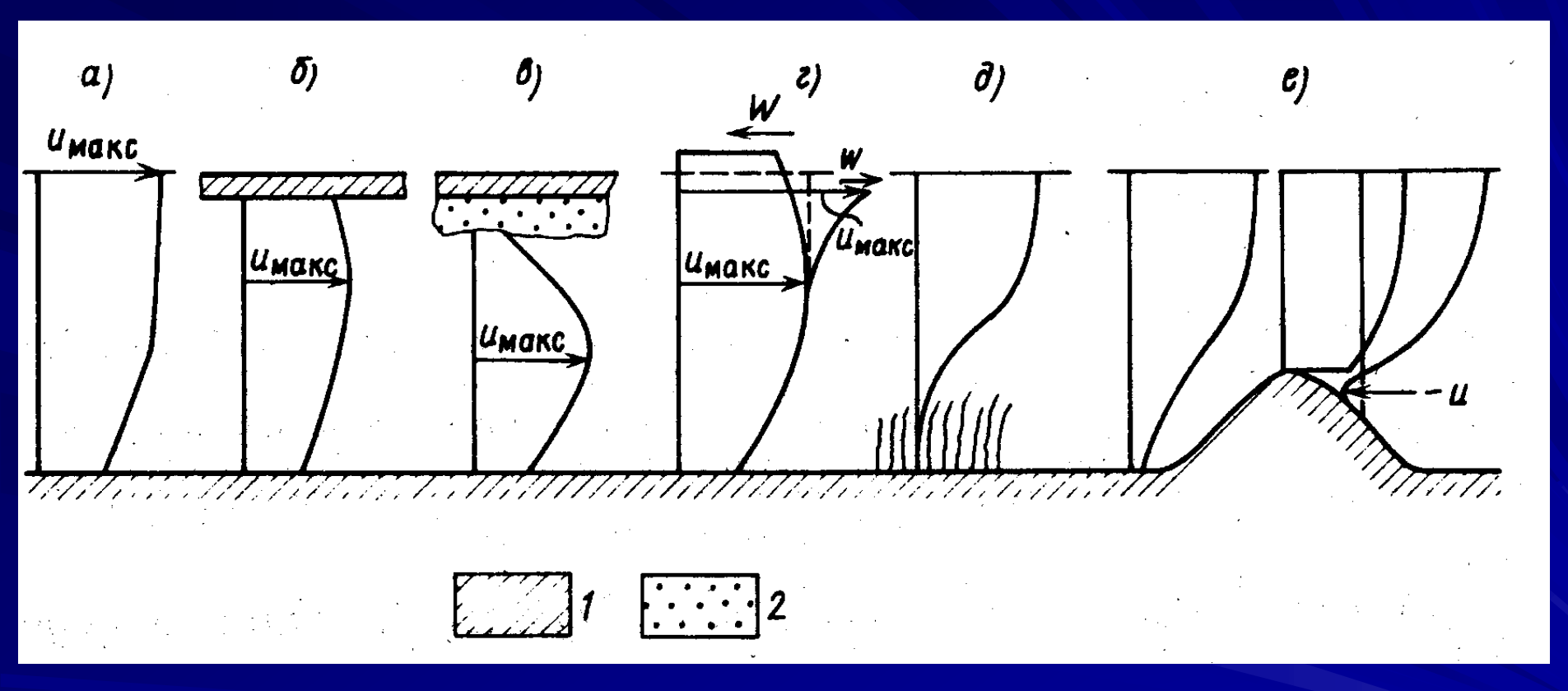
Устье Колымы, 2019 г.



Характерная эпюра распределения скорости по вертикали речного потока

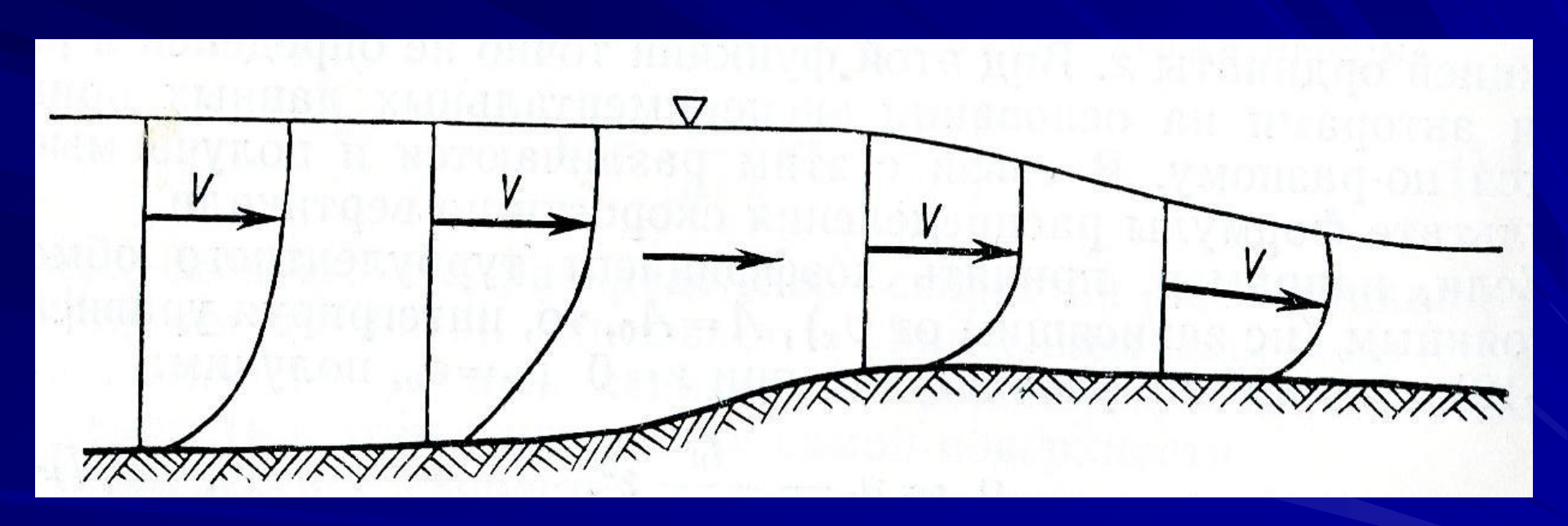


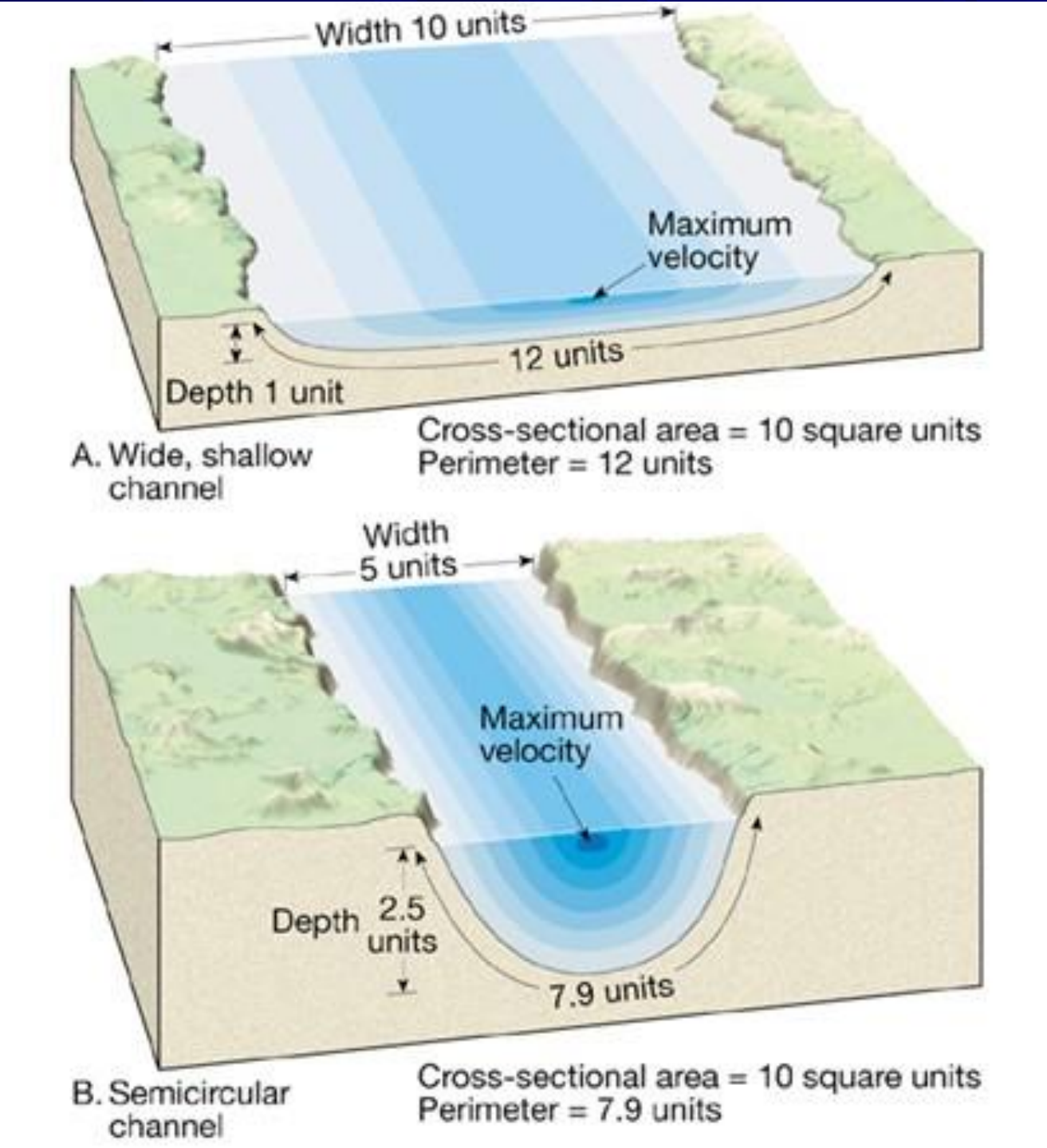
Эпюры местных скоростей



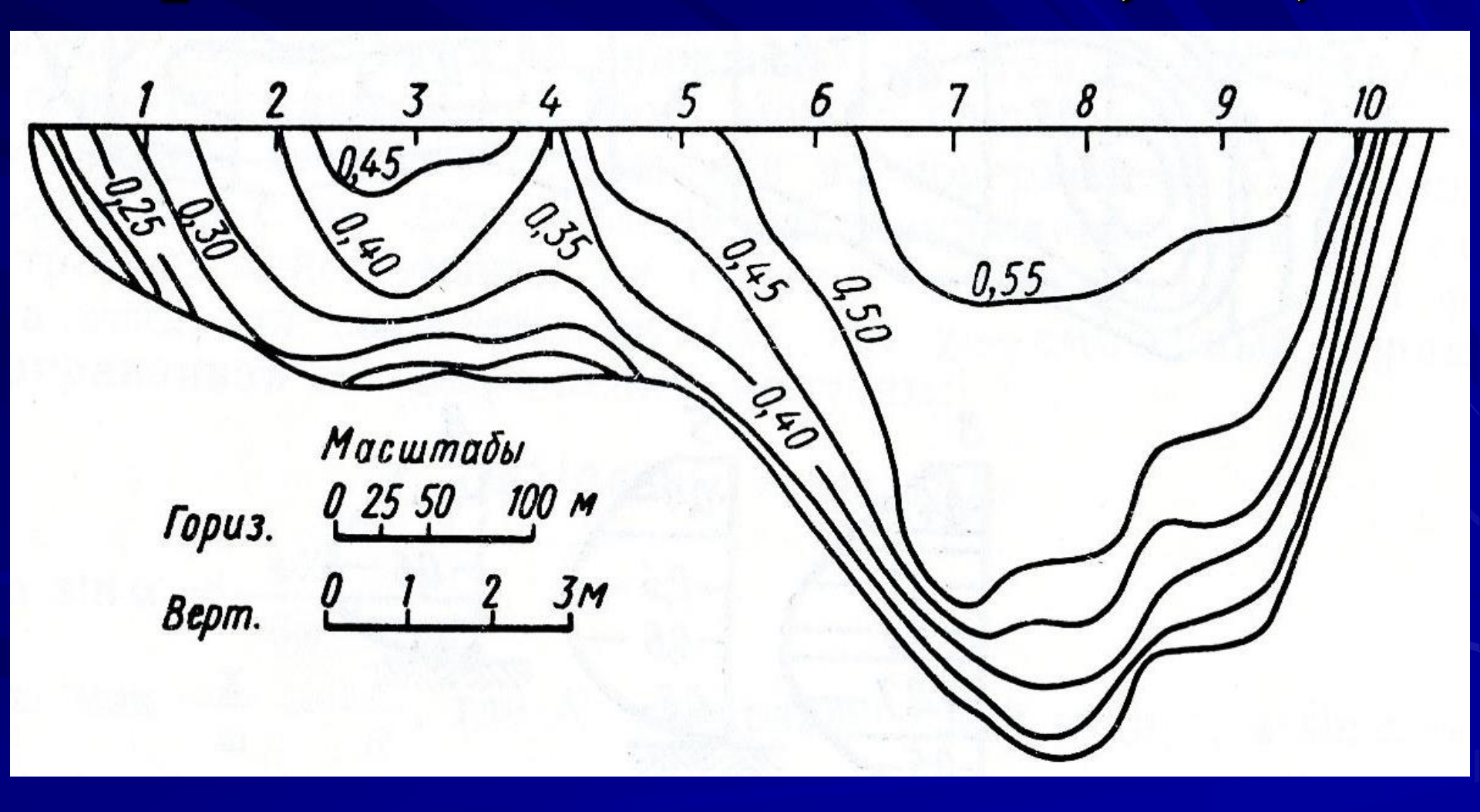
а — типичное, б — под ледяным покровом, в — под слоем внутриводного пьда (шуги), г — при попутном и встречном ветре, д — при влиянии растительности, е — при влиянии неровностей дна, 1 — ледяной покров, 2 — слой шуги, W — направление ветра, имакс — максимальная скорость течения, –и — обратное течение

Изменение эпюры скоростей от плеса к перекату в межень

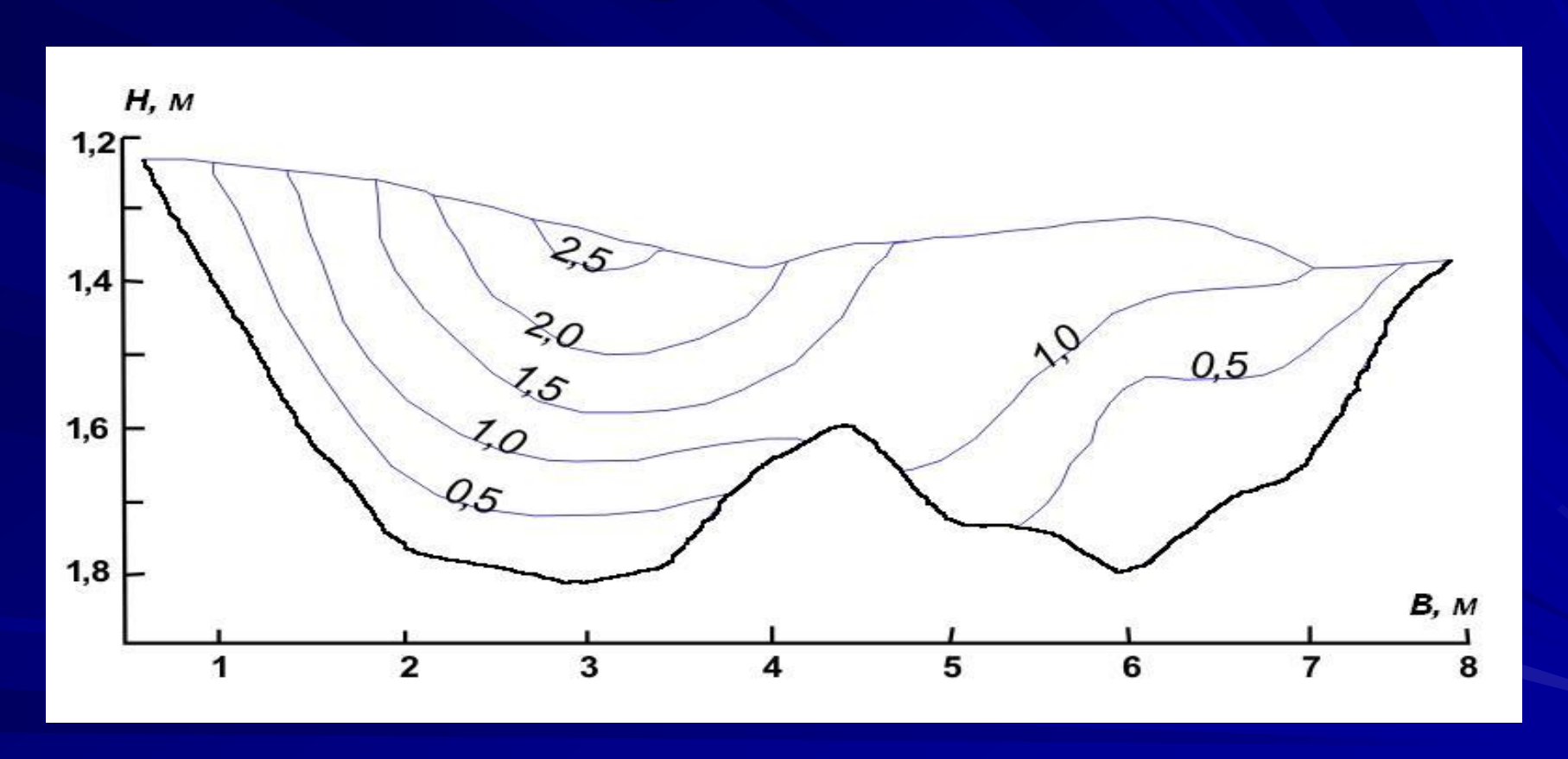




Профиль живого сечения реки с изотахами (м/с)



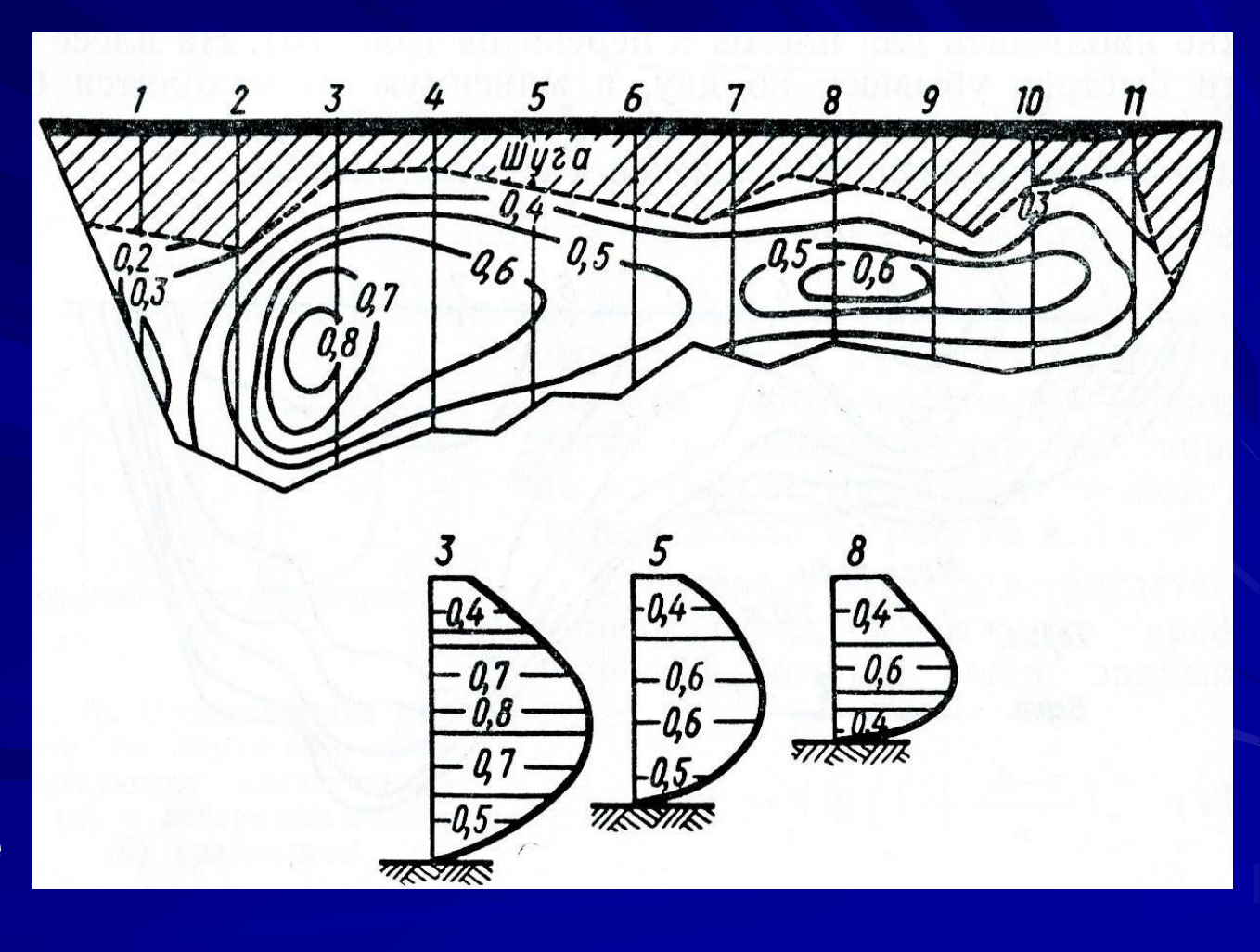
Распределение местных скоростей в поперечном сечении русла горной реки



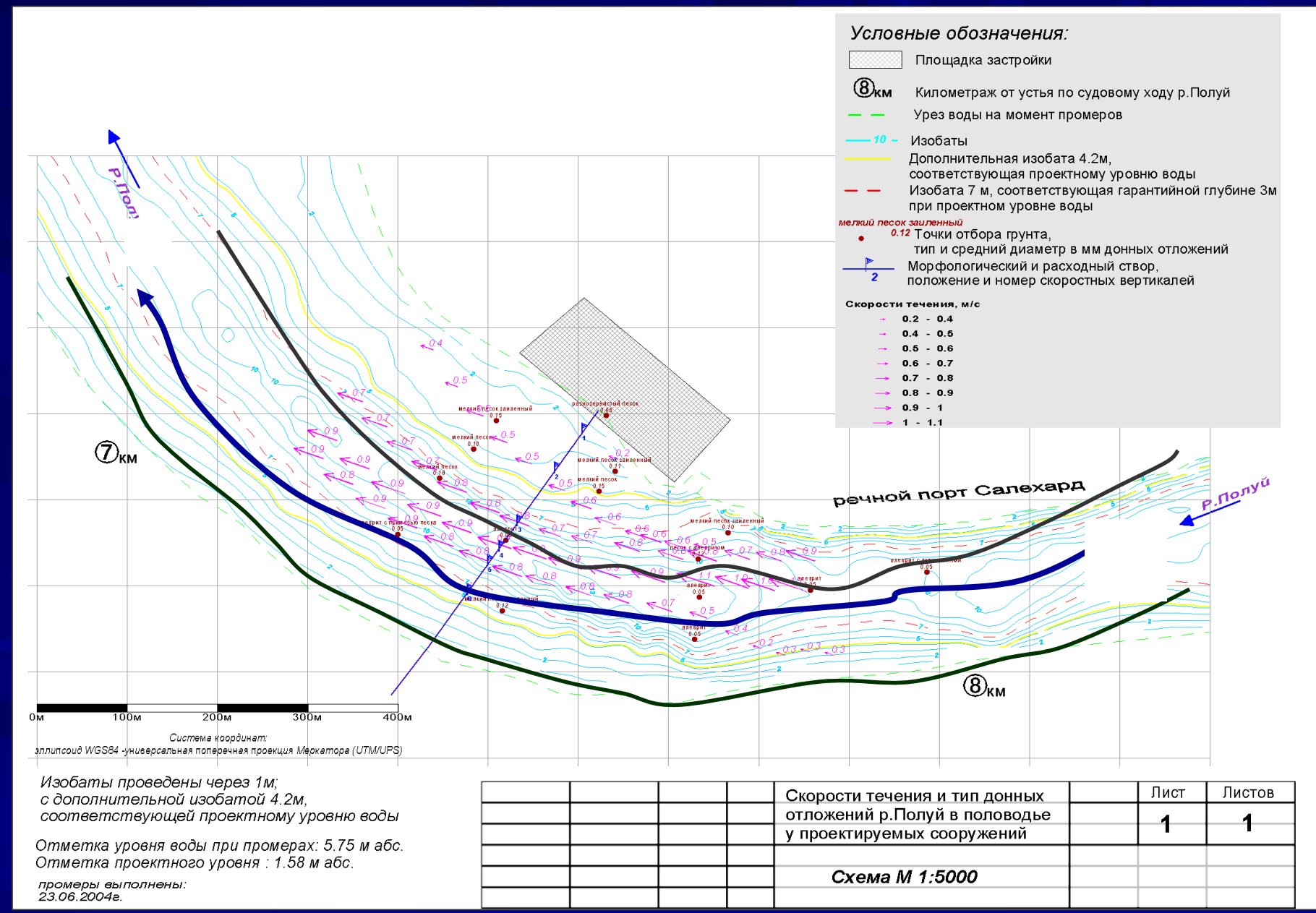
Изотахи – линии равных скоростей

Распределение скоростей в живом сечении при ледоставе

Ледяной покров **ВНОСИТ** значительные изменения в естественный режим рек и гидрологические характеристики потока. Поскольку ледяной покров служит дополнительной поверхностью сопротивления, происходит перераспределение скоростей в потоке.



Линия максимальных скоростей течения (стрежень) в русле р.Полуй



Определение расходов воды

Непосредственное измерение расхода

Косвенное определение расхода

Объемный метод

- определение

времени

наполнения

мерного сосуда

Определение количественных показателей элементов потока:

- Скорость+площадь
- Напор перед лотком или водосливом
- Изменение электропроводности раствора

Измерение расхода воды объемным методом

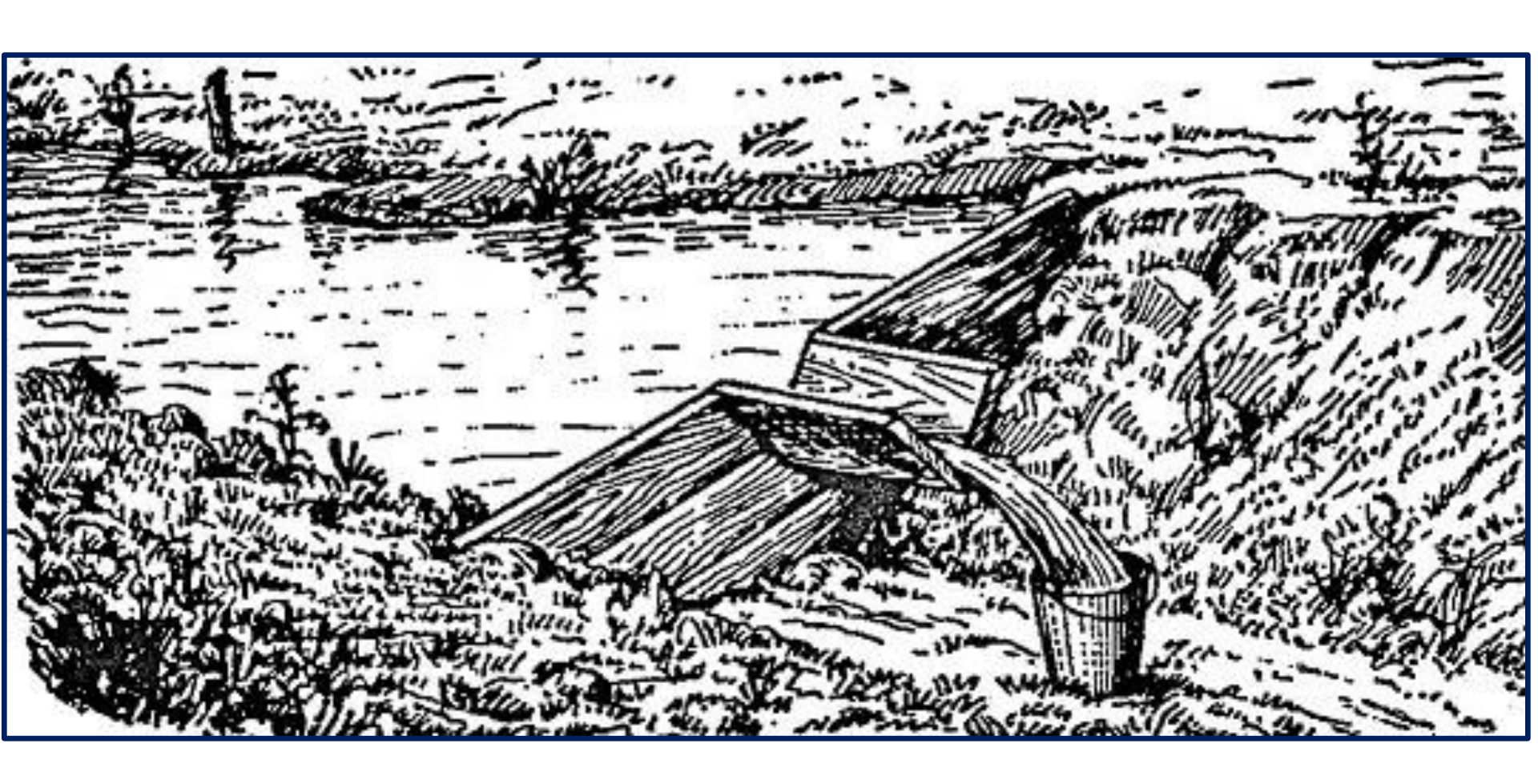
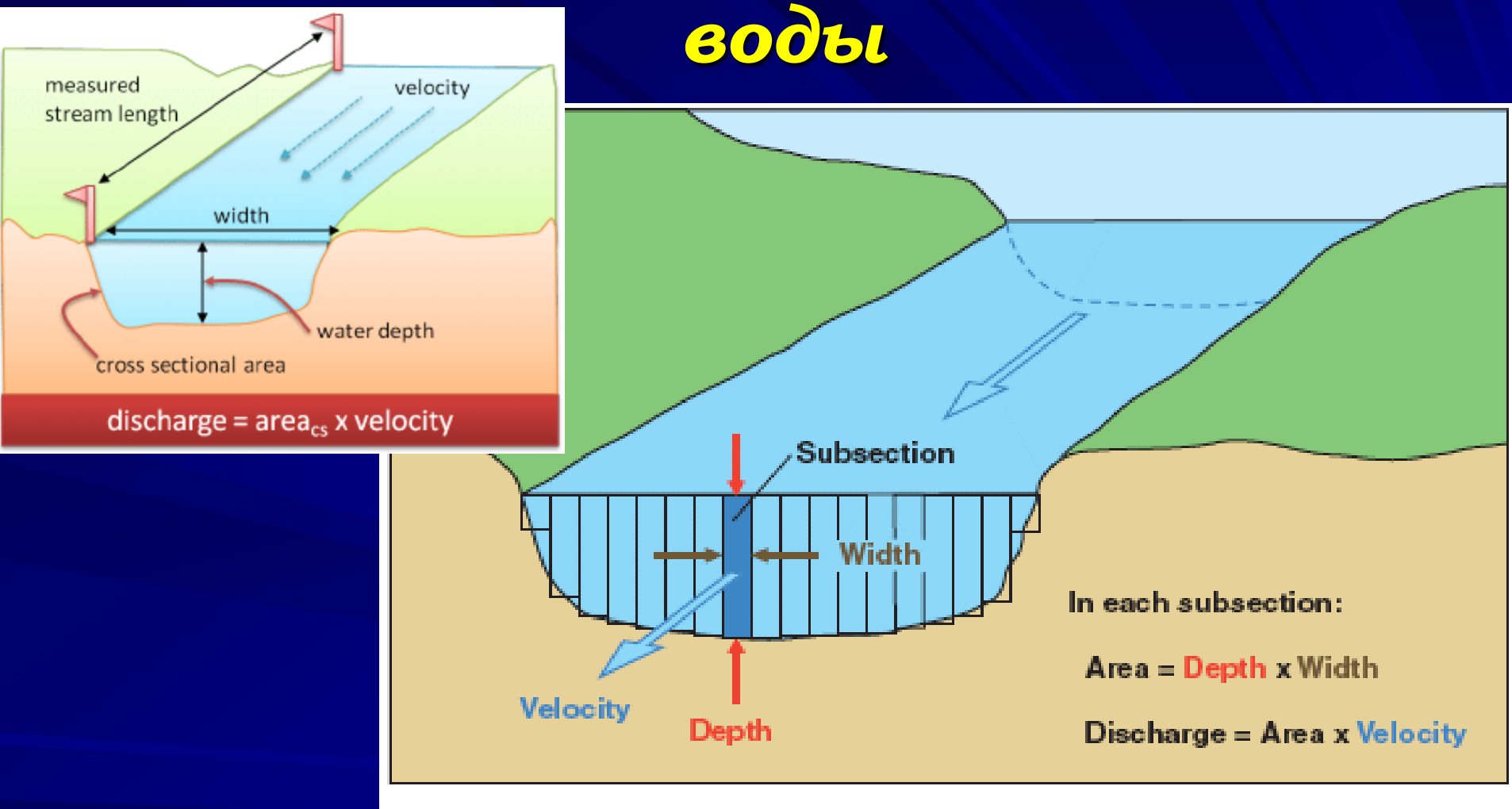


Схема определения расходов



Current-meter discharge measurements are made by determining the discharge in each subsection of a channel cross section and summing the subsection discharges to obtain a total discharge.

Полевые оценки площади поперечного сечения русла

 \mathbf{a}



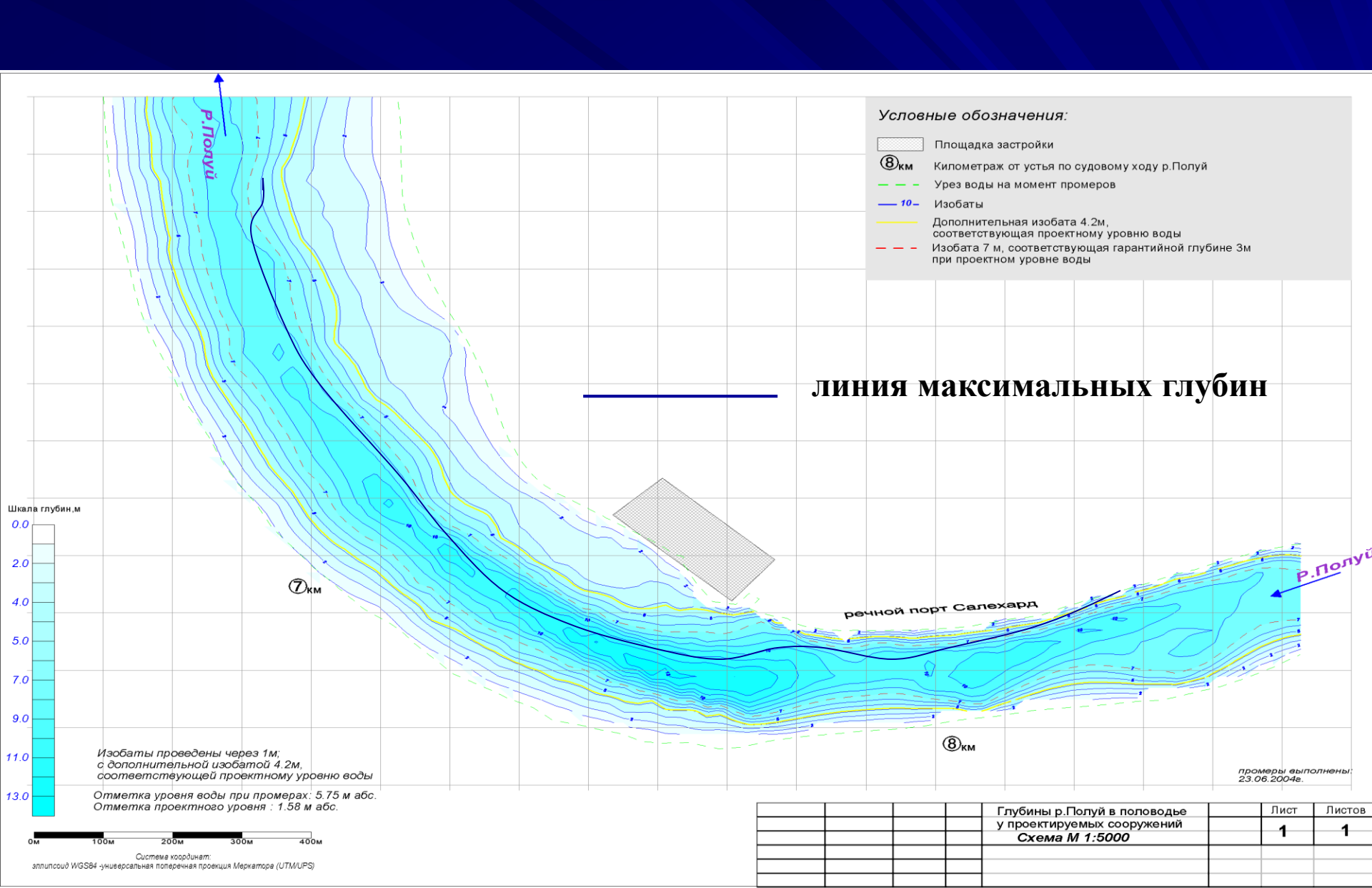


Промерные работы с помощью наметки (а) и эхолота (б)

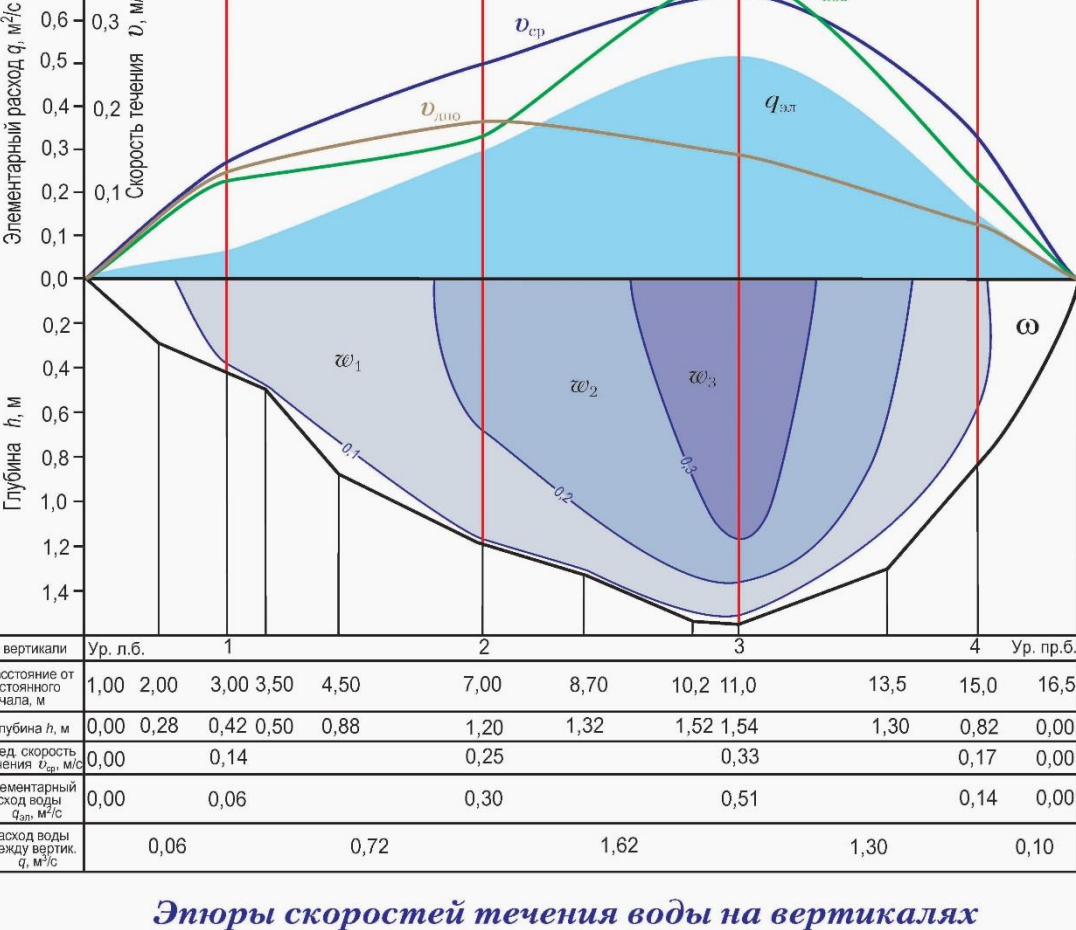
Поперечное сечение русла и его площадь

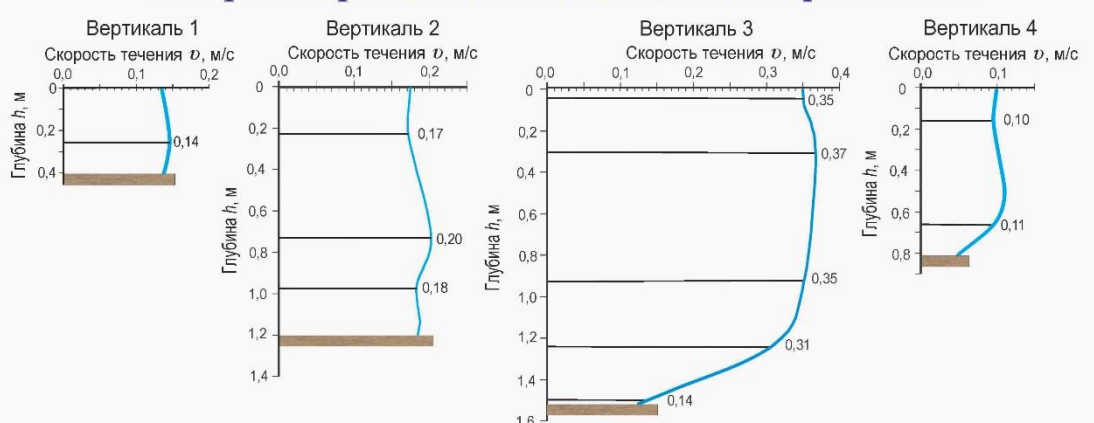


План участка р. Полуй в изобатах



Вычисление расхода воды графическим способом





Вычисление средней скорости течения

Частные расходы воды $q_i = \omega_i V_i$

Общий расход воды $Q = \Sigma q_i$

Средняя скорость потока $V = \Sigma q_i / \Sigma \omega_i$

Расчет расхода воды

$$Q = kv_1\omega_0 + \frac{v_1 + v_2}{2}\omega_1 + ... + \frac{v_{n-1} + v_n}{2}\omega_{n-1} + kv_n\omega_n,$$

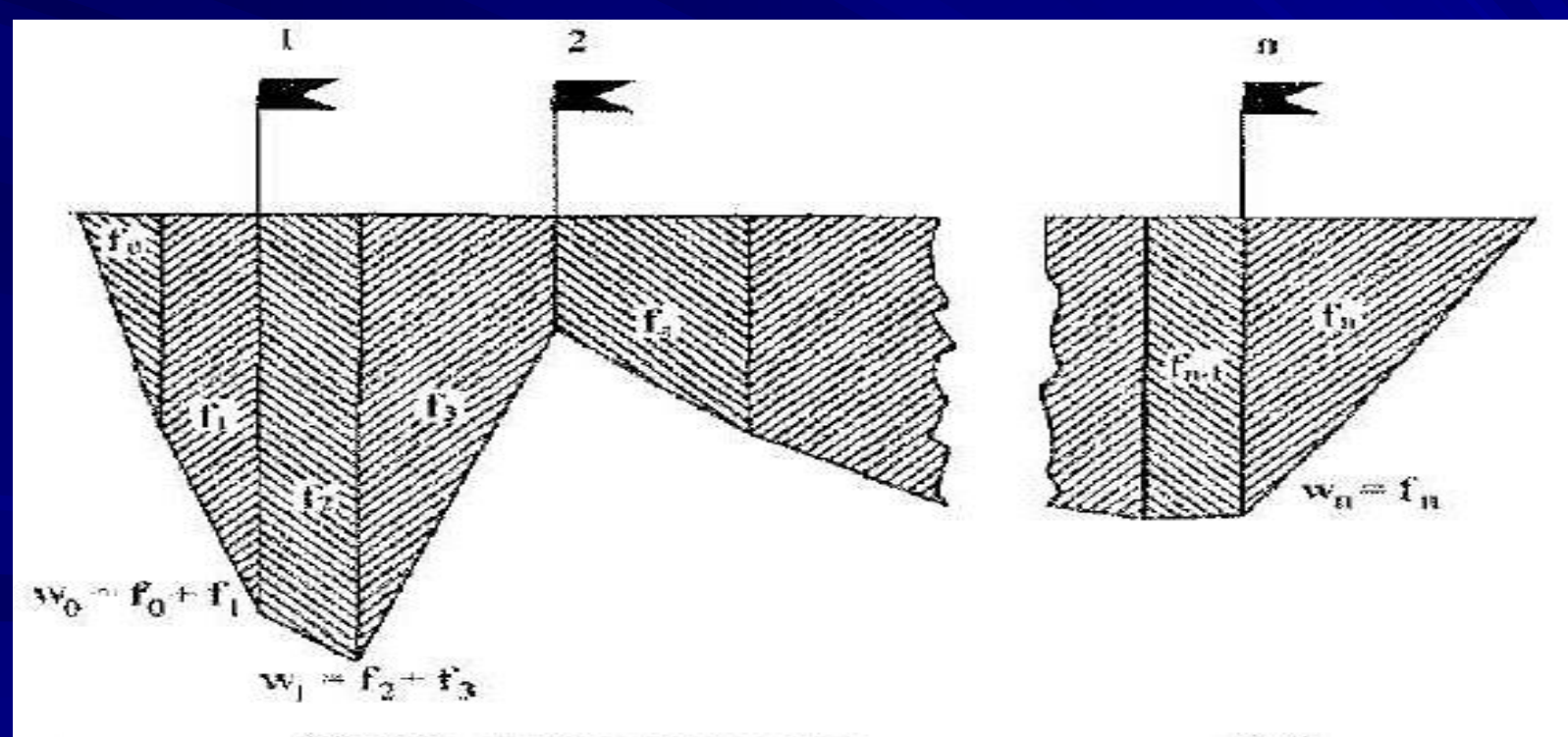


Схема вычисления частичных площадей живого

сечения

Акустический доплеровский профилограф «Rio Grande»



Прибор измеряет одновременно скорость и направление течения, глубину водного объекта до твердого грунта, профиль, определяет толщину слоя подвижного грунта (наносов), измеряет температуру воды. По результатам измерения автоматически указывается площадь водного сечения и суммарный расход воды.

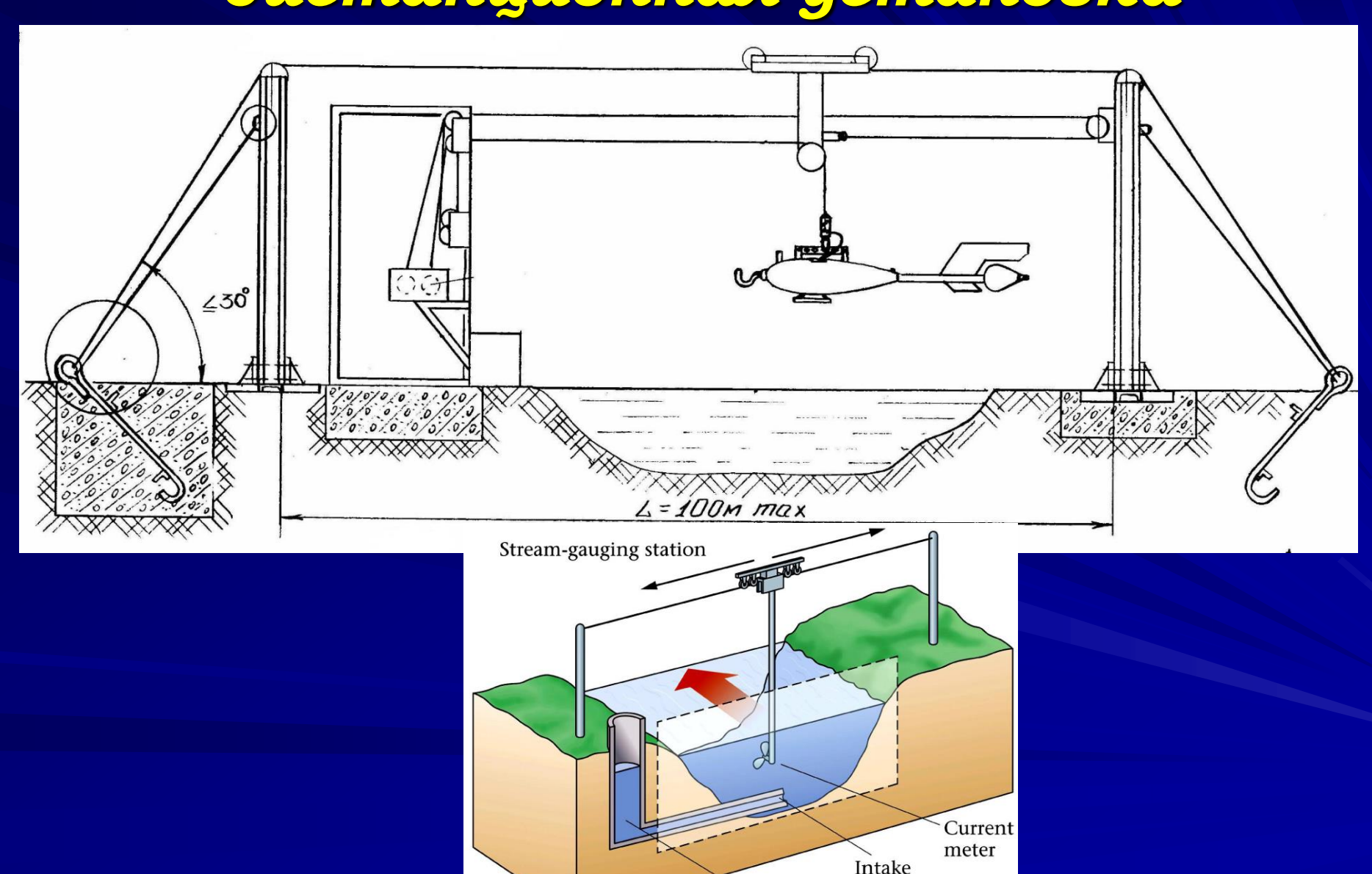


Эффект Доплера — изменение **частоты** и **длины волн**, регистрируемых приёмником, вызванное движением их источника и/или движением приёмника.





Гидрометрическая дистанционная установка



Well to measure depth of water



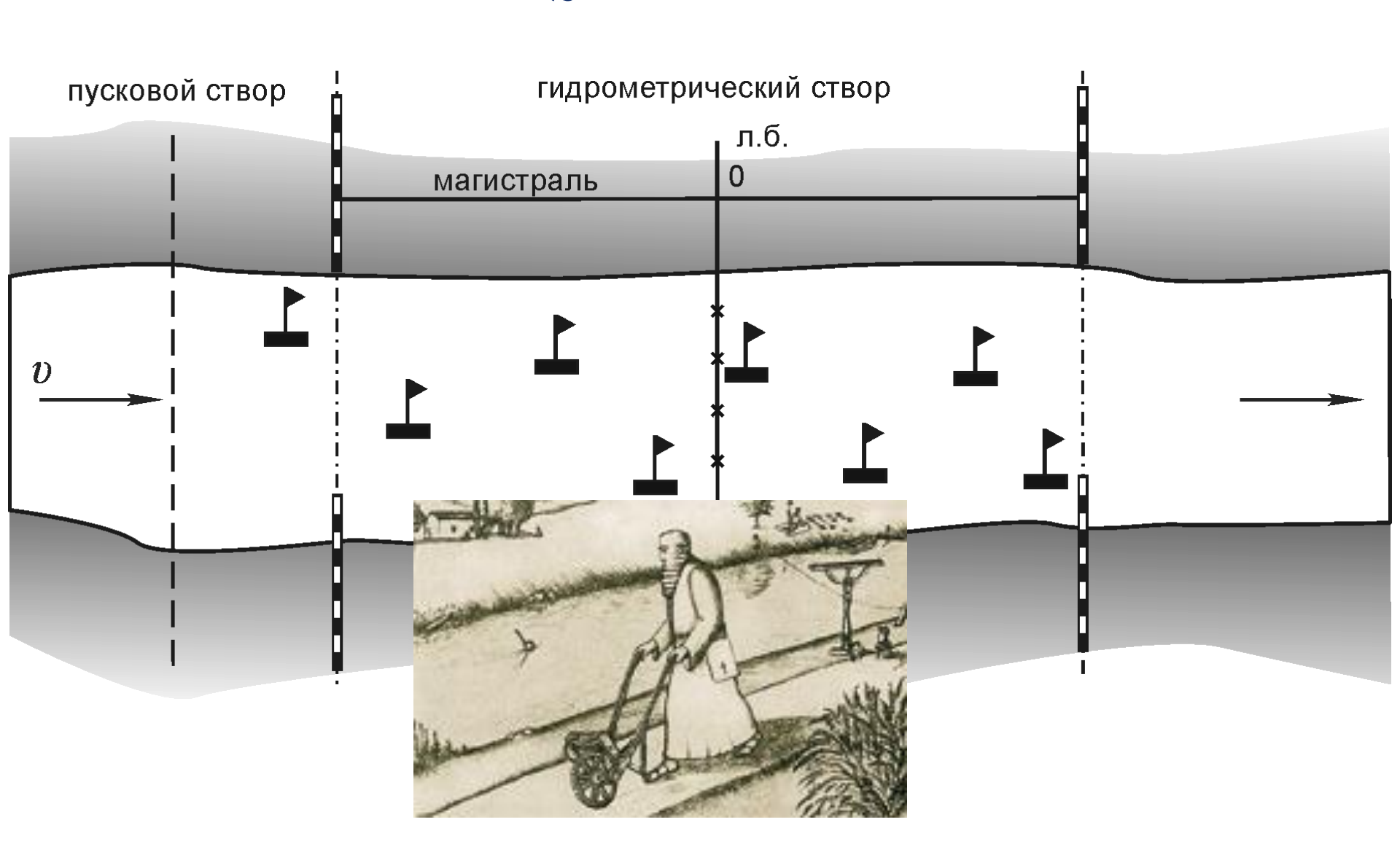




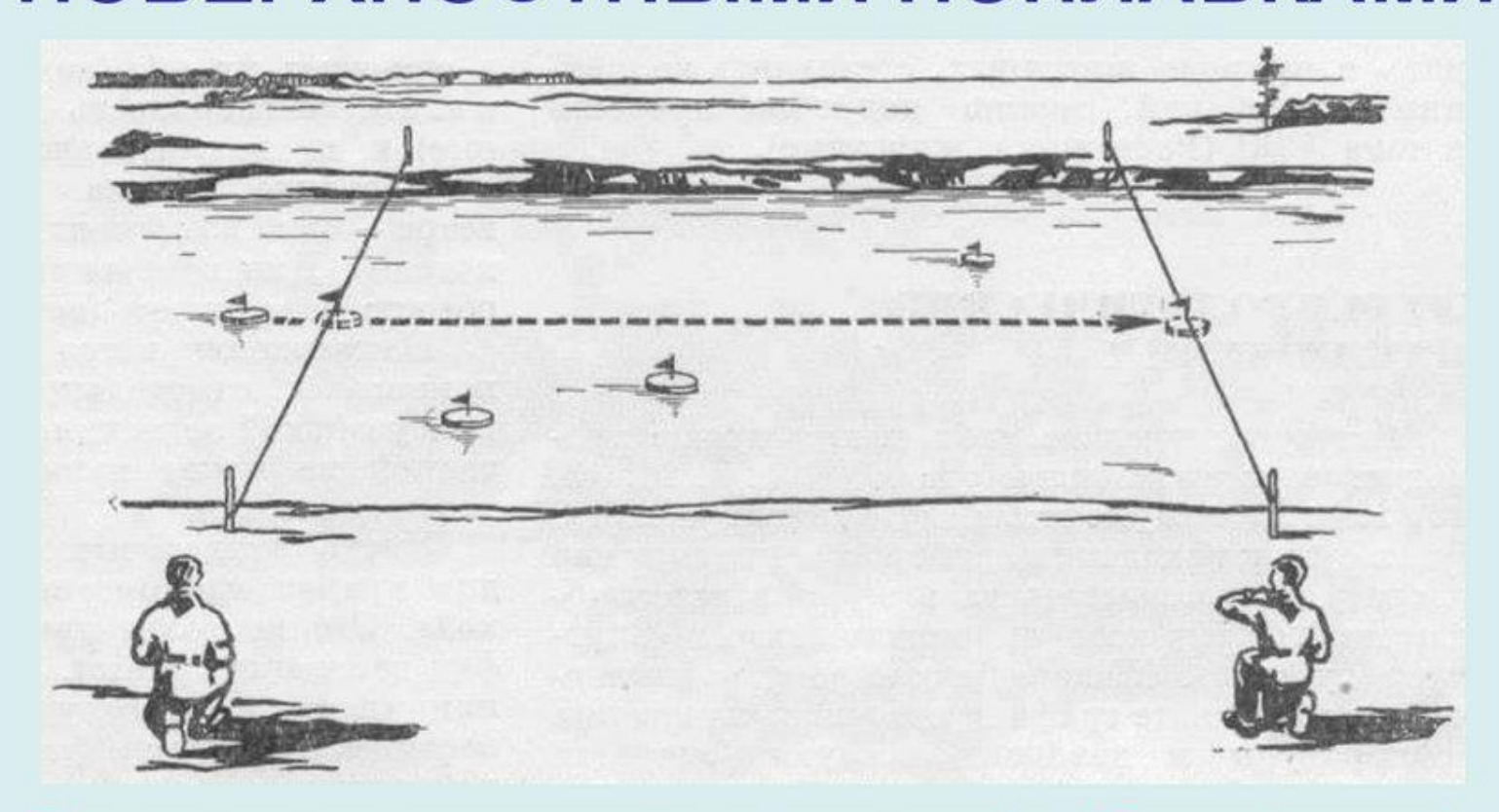




Измерение расхода воды с помощью поплавков



ИЗМЕРЕНИЕ РАСХОДА ПОВЕРХНОСТНЫМИ ПОПЛАВКАМИ

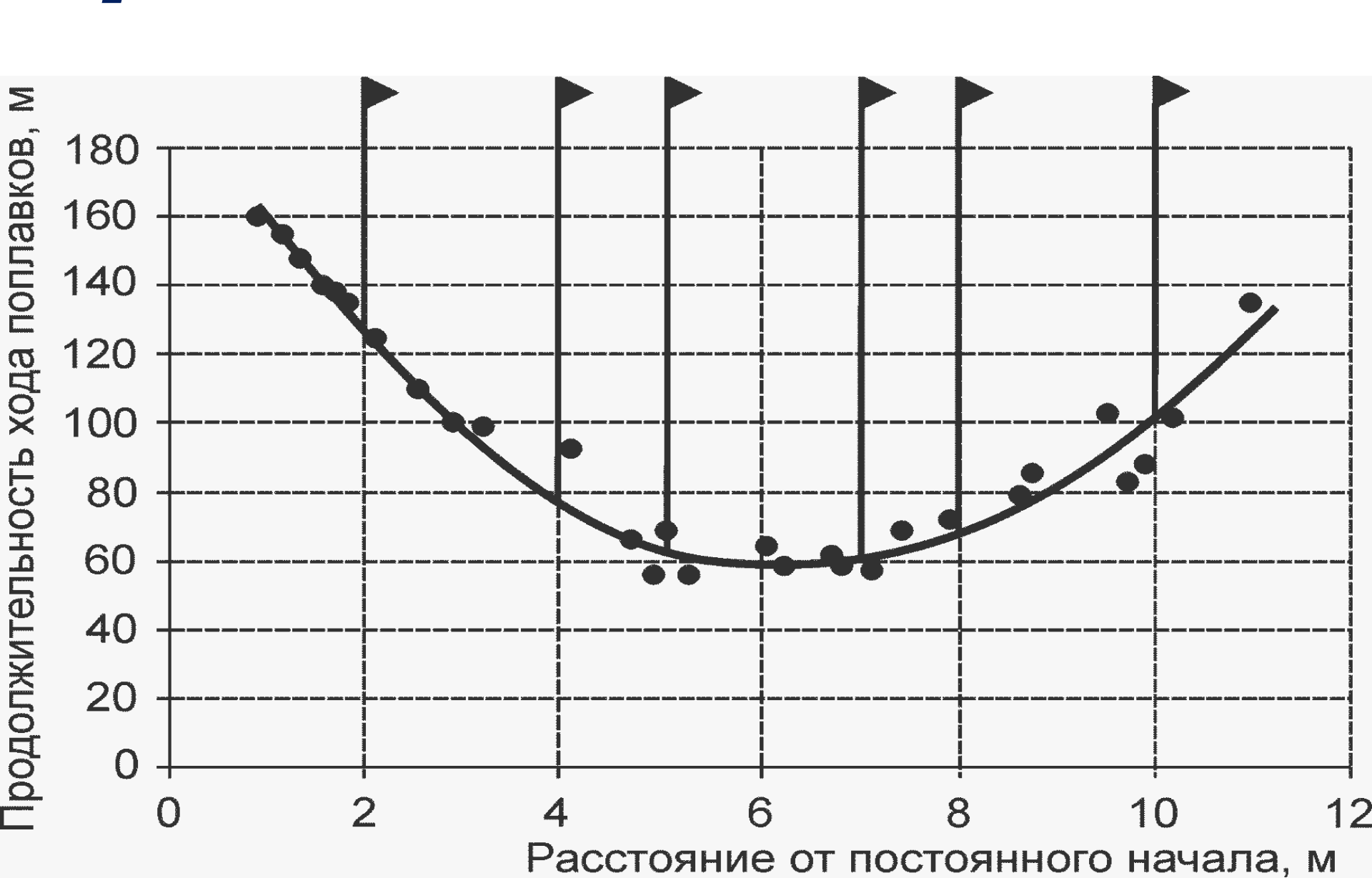


Для измерения поверхностных скоростей выбирают прямой участок длиной не менее L=50V_{макс}.

Поверхностная скорость $V_n = L/t$.

Средняя скорость V_{ср}=KV_п, где К – поправочный коэффициент от поверхностной скорости к средней, приближенно K=0,7...0,9

Продолжительность хода поплавков



Измерение расхода воды с помощью водосливов



Q = 2,14 * b * H * 1.55, M³/C

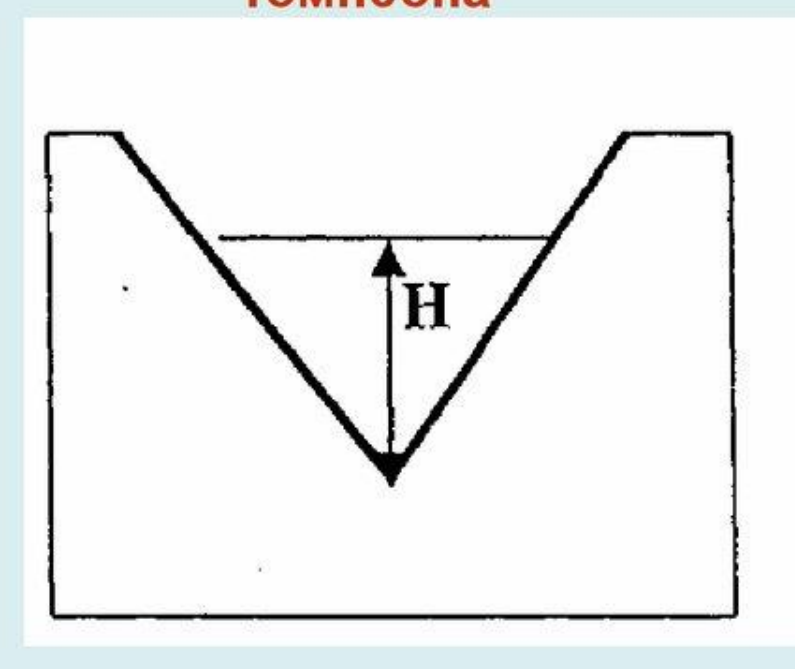
где: b – ширина выходной части горловины лотка (м);

Н – глубина воды над порогом лотка в верхнем бьефе (м);



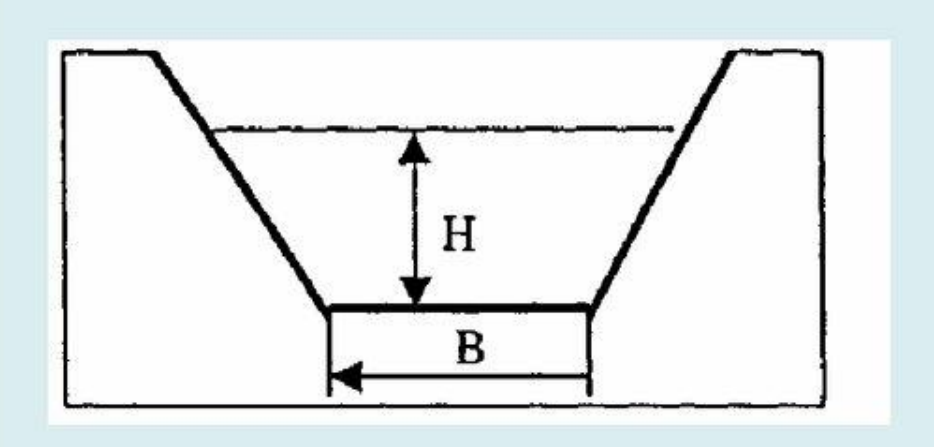
ИЗМЕРЕНИЯ РАСХОДАВОДОСЛИВАМИ

Треугольный водослив Томпсона



$$Q = 1,4H^{5/2}$$
 $\alpha = 90^{\circ}$

Трапецеидальный водослив Чиполетти



$$Q = 1,86BH^{3/2}$$

 $tq\alpha = 0.25$



Определение расхода воды с помощью ионного паводка













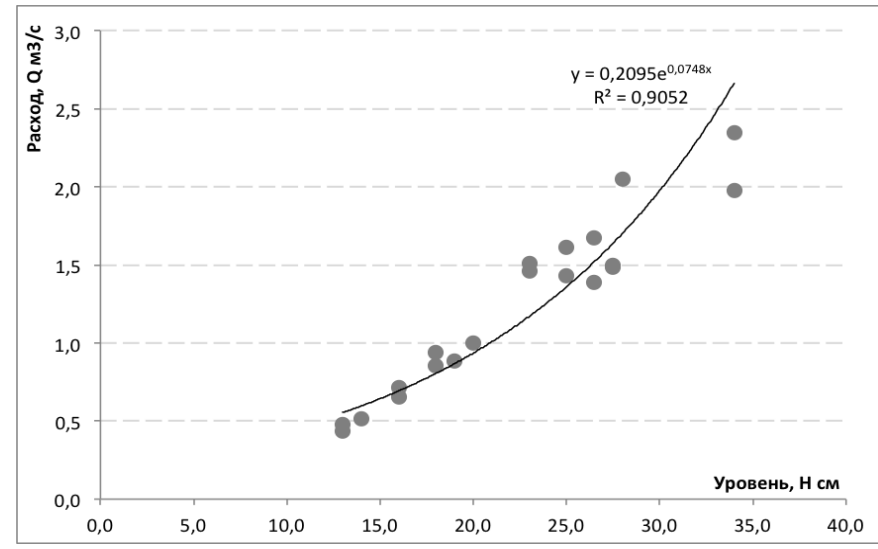






Измерение расходов воды на г/п Джанкуат, сентябрь 2015 год

Зависимость **Q=f(H)** для конца периода абляции, сентябрь 2015 г.



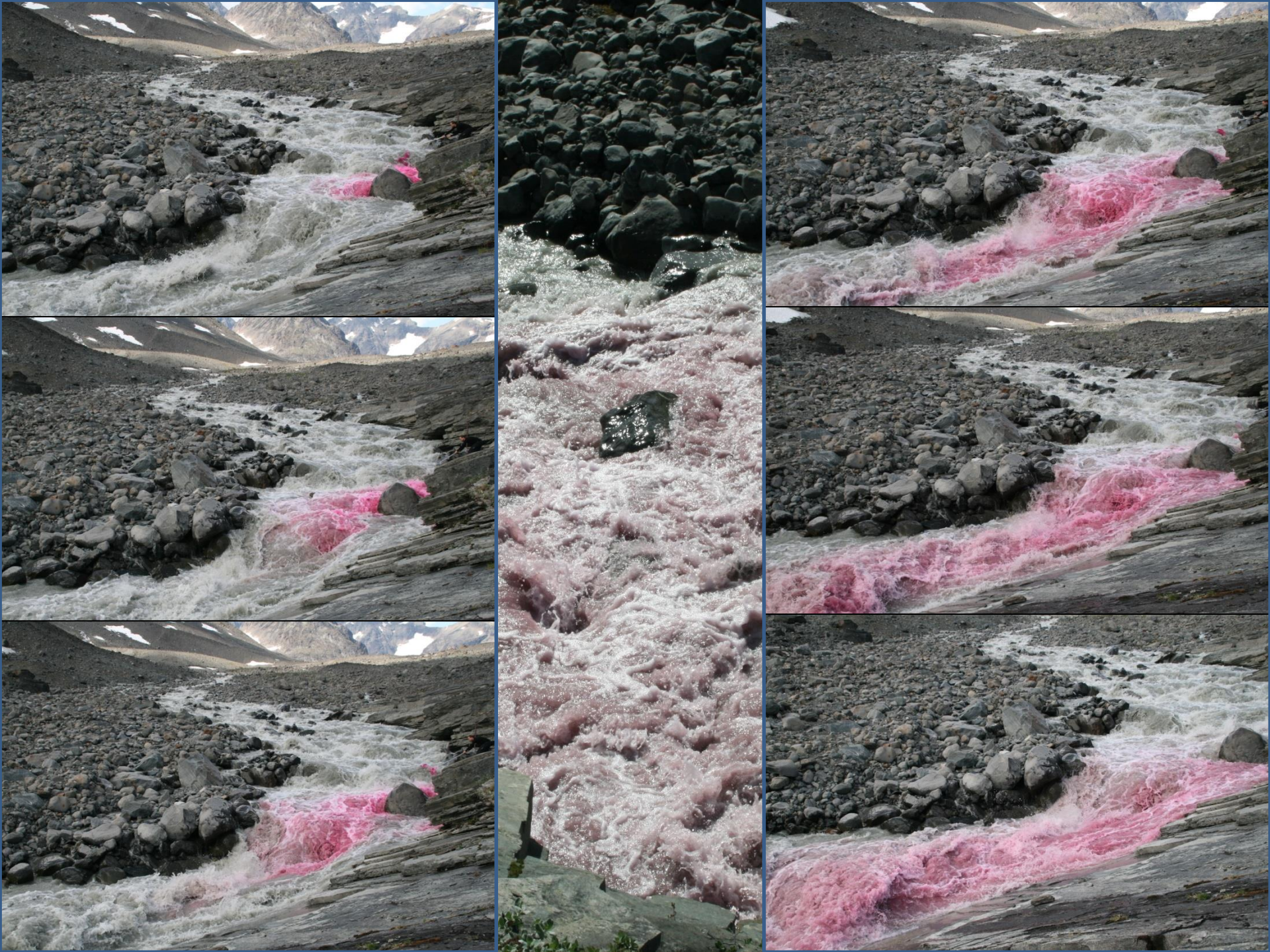
- Родамин флуоресцентный раствор (органический краситель)
- Объём раствора всего 50 мл
- Измерение концентрации в воде родамина проводилось с помощью полевого флуориметра















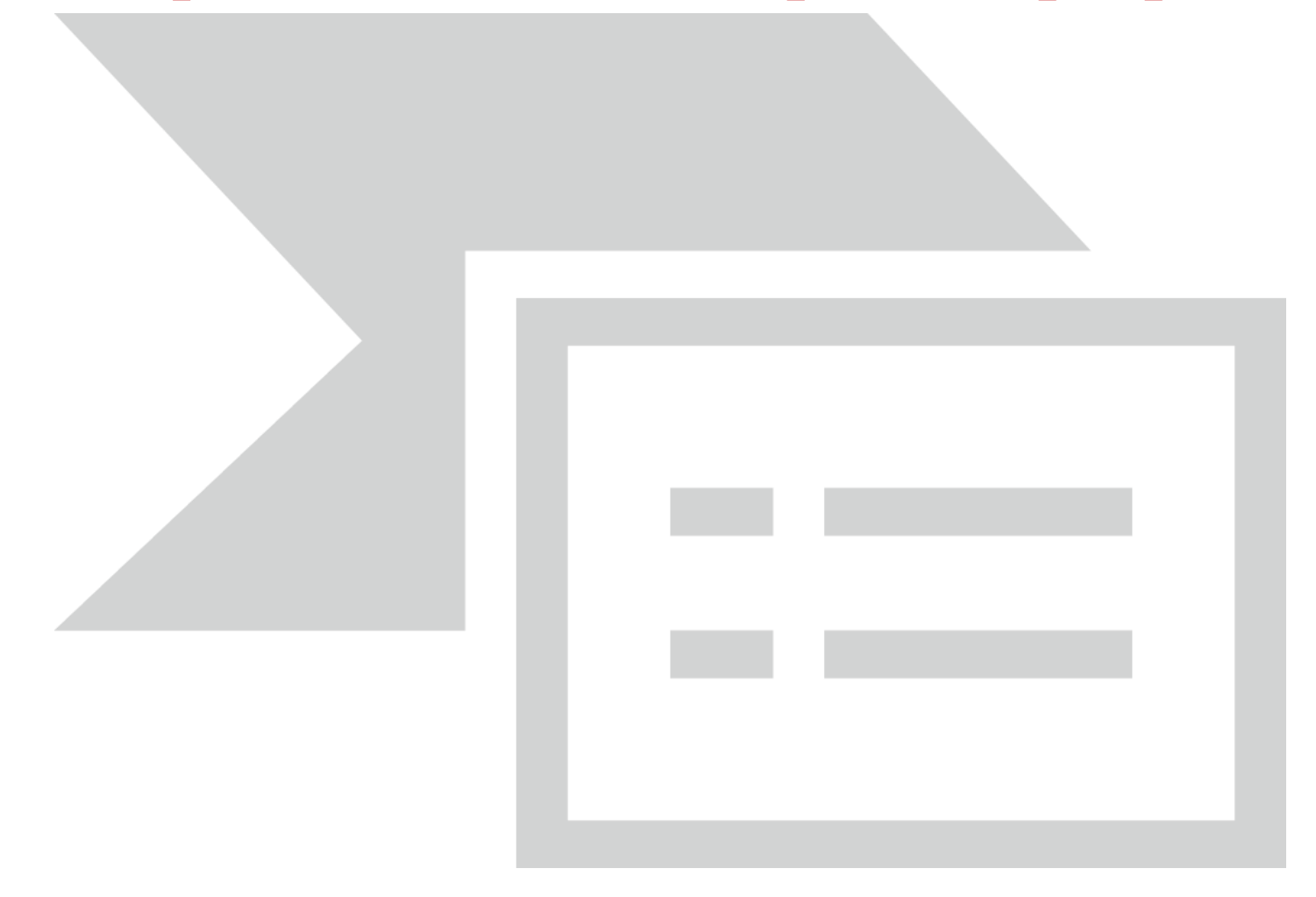
Расчет расхода воды





Схема к выводу уравнения квазиравномерного движения руслового потока:

а – продольный, б – поперечный разрезы



Закон изменения количества движения (импульса), значений действующих сил в проекции на направление движения (ось *x*) позволяет получить следующее выражение:

$$m\frac{dv}{dt} = F'_g - T_{\text{ДНО}} - \Delta P + T_{\text{Ветр}}$$

Перед ΔP поставлен отрицательный знак, поскольку положительное ускорение (dv/dt>0) объем воды может приобрести лишь при уменьшении давления вдоль потока, т.е. когда $\Delta P<0$. Трение на дне всегда направлено навстречу движению и поэтому $T_{\text{лно}}$ также имеет отрицательный знак.

Закон изменения количества движения (импульса), значений действующих сил в проекции на направление движения (ось *x*) позволяет получить следующее выражение:

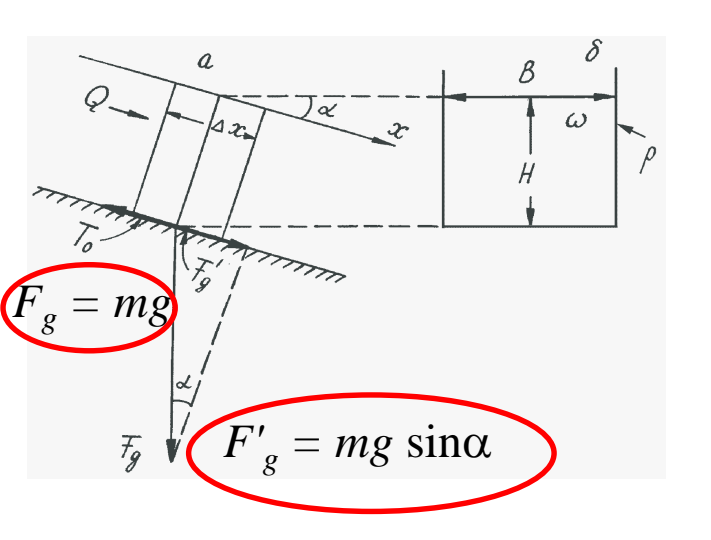
$$m\frac{dv}{dt} = F'_g - T_{\text{дно}} - \Delta P + T_{\text{ветр}}$$

При равномерном движении dV/dt = 0, т.е. имеем $\Sigma F = 0$.

Если действуют лишь силы F'_{g} и $T_{\text{дно}}$, то получим простое соотношение:

$$F'_g = T_{\text{дно}}$$
.

Δx (площадь сечения) периметр (ρ)



m – масса воды в отсеке, равная $\rho \Delta \mathbf{x} \omega$ $m = \rho V$; $V = \Delta \mathbf{x} \omega$; $m = \rho \Delta \mathbf{x} \omega$

Сила тяжести, действующая вертикально вниз, равна $F_g = mg$, а ее продольная составляющая, действующая вдоль уклона водной поверхности, равна $F'_g = mg\sin\alpha = mgI$,

где α — угол между горизонтальной плоскостью и поверхностью воды, $\sin \alpha = \Delta H/\Delta x = I$ — уклон водной поверхности (величина безразмерная), ΔH — падение уровня вдоль участка Δx .

Трение на дне T_{\text{дно}} равно T_{\text{дно}} = S_{\text{дно}} \tau_{\text{дно}},

где
$$S_{\text{дно}} = \Delta x \, p$$
, а

τ_{дно} **удельное трение** (касательное напряжение) согласно законам гидродинамики может быть выражено следующим образом:

$$\tau_{\text{дно}} = f_{\text{дно}} \rho v^2$$
,

где $f_{\rm дно}$ — коэффициент гидравлического сопротивления.

Вывод формулы Шези

$$m\frac{dV}{dt} = \sum F$$

 $m{m}$ — масса воды в отсеке, равная $ho\Delta \mathbf{x} \omega$, $m{dV/dt}$ ускорение движения, Σ **F** – сумма действующих на отсек воды внешних сил (продольная составляющая силы тяжести, равная $Fg = mg \sin\alpha = \rho g \Delta x \omega I$, где I уклон водной поверхности и противоположно направленная сила трения у дна

 $T_{
m nho}$, равная $au_{
m nho}\Delta x p$, где $au_{
m nho}$ – удельное трение (трение на единицу поверхности дна) или так называемое касательное напряжение размерностью H/m^2 , а p — смоченный периметр.

принять движение воды квазиравномерным, т.е. близким Если равномерному, то имеем $dV/dt \sim 0$, и левая часть уравнения, описывающего второй закон механики, превращается в нуль. В этом случае и $\Sigma F = 0$.

$$\sum F = F'_g - T_{\text{\tiny ZHO}} = \rho g \Delta x \omega I - \tau \Delta x p$$

$$\Sigma F = 0$$
.

Для турбулентного движения:

Обозначим:

$$ρgΔxωI = τ_{\tiny ДНΟ}Δxp$$
 $| τ_o = ρf_{\partial HO}v^2 | C^2 = g / f_{\partial HO}$

$$\tau_o = \rho f_{\partial HO} v^2$$

$$C^2 = g / f_{\partial HO}$$

Динамика речного потока. Формула Шези-Маннинга

$$V = C\sqrt{hI}$$

$$C = \frac{1}{n}h^{1/6}$$

```
С- коэффициент
       Шези
 (C=30-80 \text{ m}^{0,5}/c),
n – коэффициент
  шероховатости
  (n=0,02-0,03),
   h - глубина
    потока (м),
 I— уклон водной
   поверхности
(I = 0,00003-0,001)
```

Коэффициент шероховатости русла

- Коэффициент шероховатости речного русла п находят по специальным таблицам.
- Например, для ровных незаросших русел с песчаным дном $n = 0,020 \div 0,023$; для извилистых русел с неровным дном $n = 0,023 \div 0,033$; для пойм, заросших кустарником, $n = 0,033 \div 0,045$ и т. д.

Коэффициент шероховатости

Коэффициент шероховатости определяется по специальным таблицам.



извилистое не заросшее русло n = 0,023 - 0,033



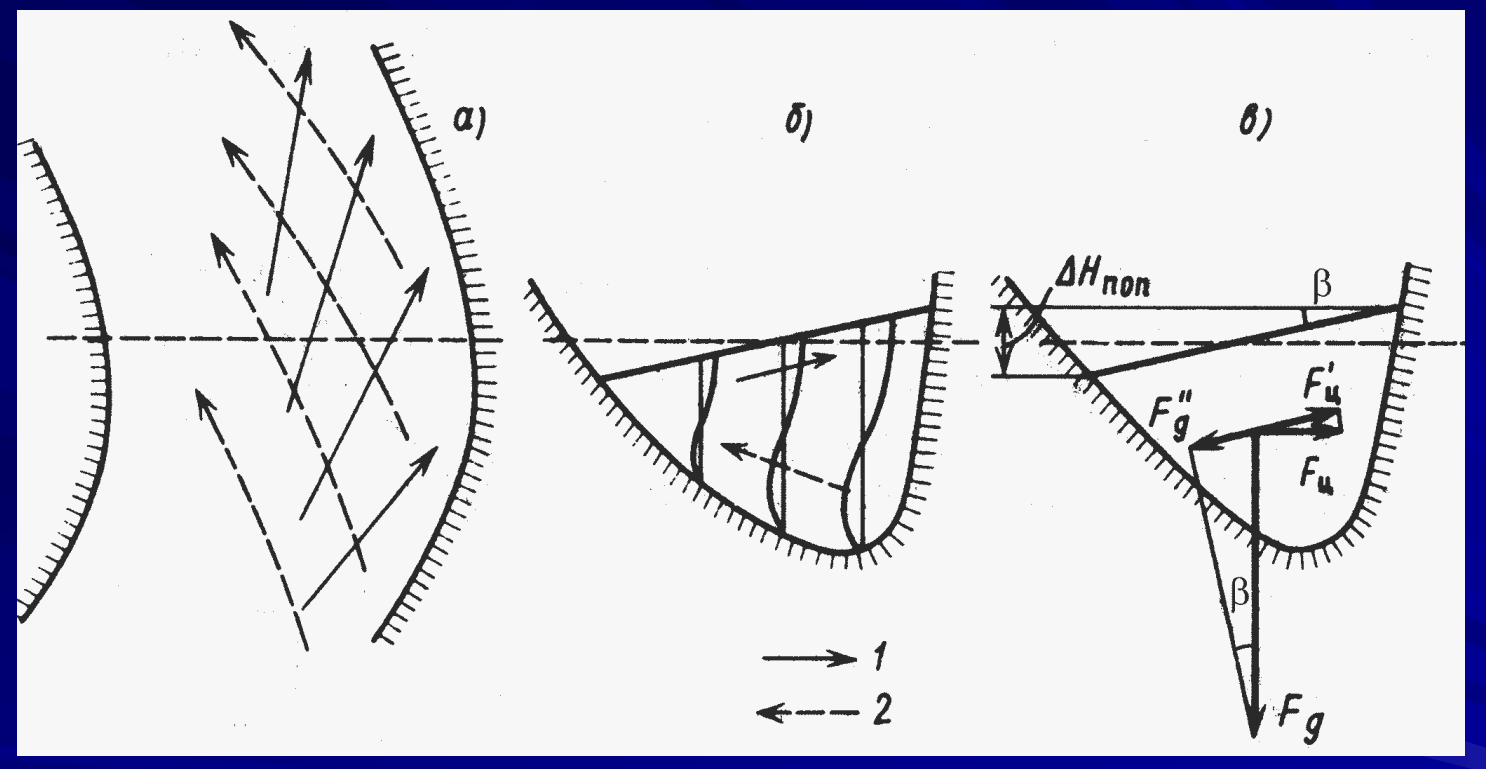
пойма, заросшая кустарником n = 0,033 - 0,045

При заданных расходе воды **Q**, ширине и шероховатости русла **B** и **n**, уклоне дна **i**_o, равном уклону водной поверхности **I** (это справедливо при равномерном движении воды), в потоке сформируется вполне определенная глубина

$$h_{\rm cp} = \left(\frac{Qn}{B\sqrt{i_{\rm o}}}\right)^{3/5}$$

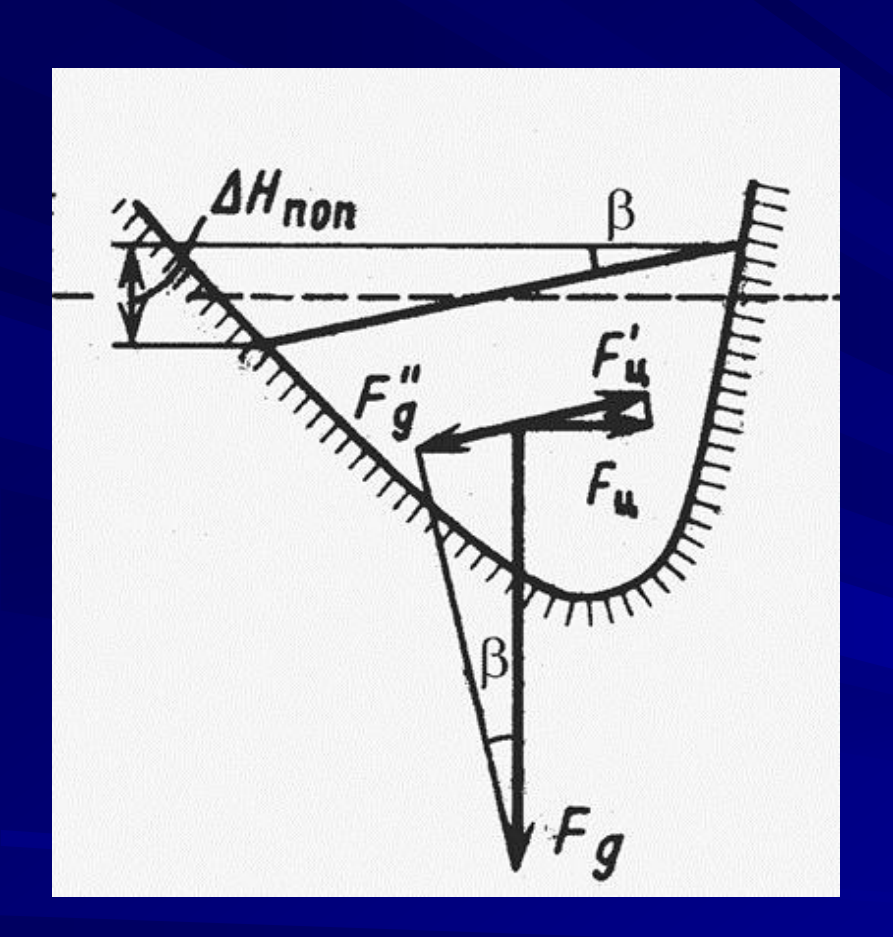
Схема поперечной циркуляции на изгибе речного потока в плане (а) и поперечном разрезе (б) и схема действующих сил (в):

1 — поверхностные струи 2 — придонные струи



- На изгибе речного русла центробежная сила приводит к отклонению течения в поверхностных слоях в сторону вогнутого берега, что создает поперечный перекос уровня воды.
- В результате избытка гидростатического давления у вогнутого берега в придонных слоях возникает течение, направленное в сторону выпуклого берега.
- Складываясь с основным продольным переносом воды в реке, разнонаправленные течения на поверхности и у дна создают спиралевидное движение воды на изгибе речного русла — поперечную циркуляцию.

Определение поперечного уклона



Проекция центробежной силы $F'_{\rm ц}$ на линию, проходящую через центр тяжести поперечного сечения русла параллельно водной поверхности, будет равна поперечной составляющей силы тяжести F''_{g} , обусловленной поперечным уклоном.

$$F'_{\mu} = F_{\mu} \cos \beta \mu$$
 $F''_{g} = F'_{g} \sin \beta = F_{g} I_{\text{поп}}.$
 $I_{\text{поп}} = \sin \beta$

Определение поперечного уклона

В приведенных выражениях $I_{\text{поп}}$ — поперечный уклон водной поверхности, υ — средняя скорость течения, r — радиус изгиба русла, β — угол наклона уровня в поперечном направлении.

Напомним, что центробежная сила равна $F_{\rm u} = m {\rm u}^2/r$, а $F_g = m {\rm g}$.

Подставляя эти выражения в уравнение $F'_{\sqcup} = F''_{g}$, получим

$$mu^2\cos\beta/r = mgI_{\text{non}}$$
.

Считая, что при малой величине угла β $\cos \beta \sim 1$, и решим полученное уравнение относительно $I_{\text{поп}}$

$$I_{non} = \frac{v^2}{gr}$$

$$\Delta H = B I_{\mathsf{поп-}\mathsf{перекос}}$$
 водной поверхности

В – ширина русла•

a) O 10 20 30 40 M T.C.18 Г. С. 17 0,2 0,4 0,6 0,08 0,16 M/C 0,8

Исследования кинематики потока на изгибе естественного русла

План изгиба р. Снов (а) и эпюры поперечных скоростей (б) на гидростворе №19